

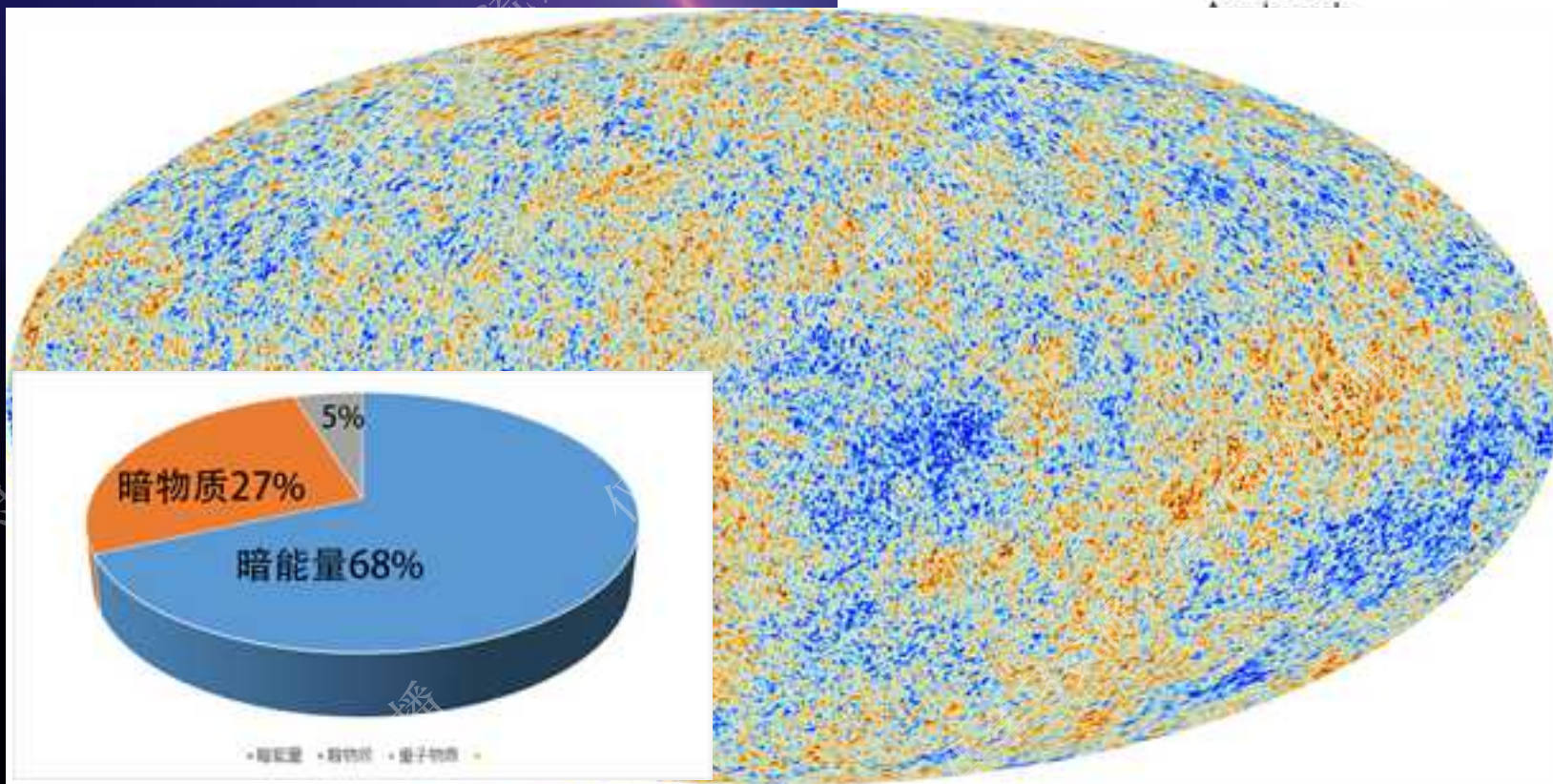
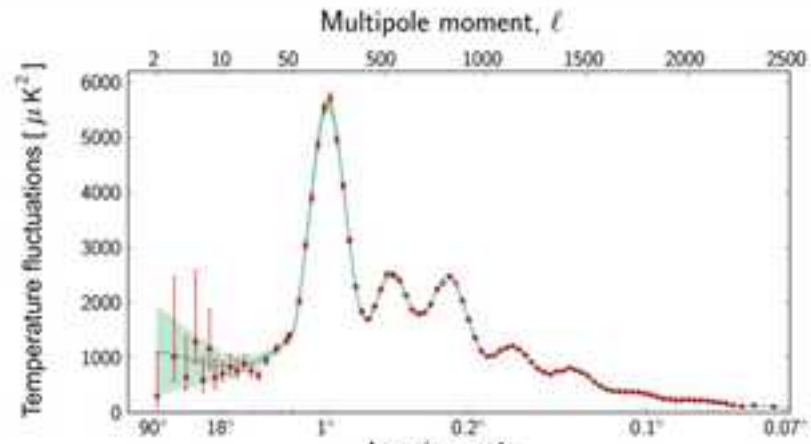
LCDM小尺度挑战与暗物质属性

高亮

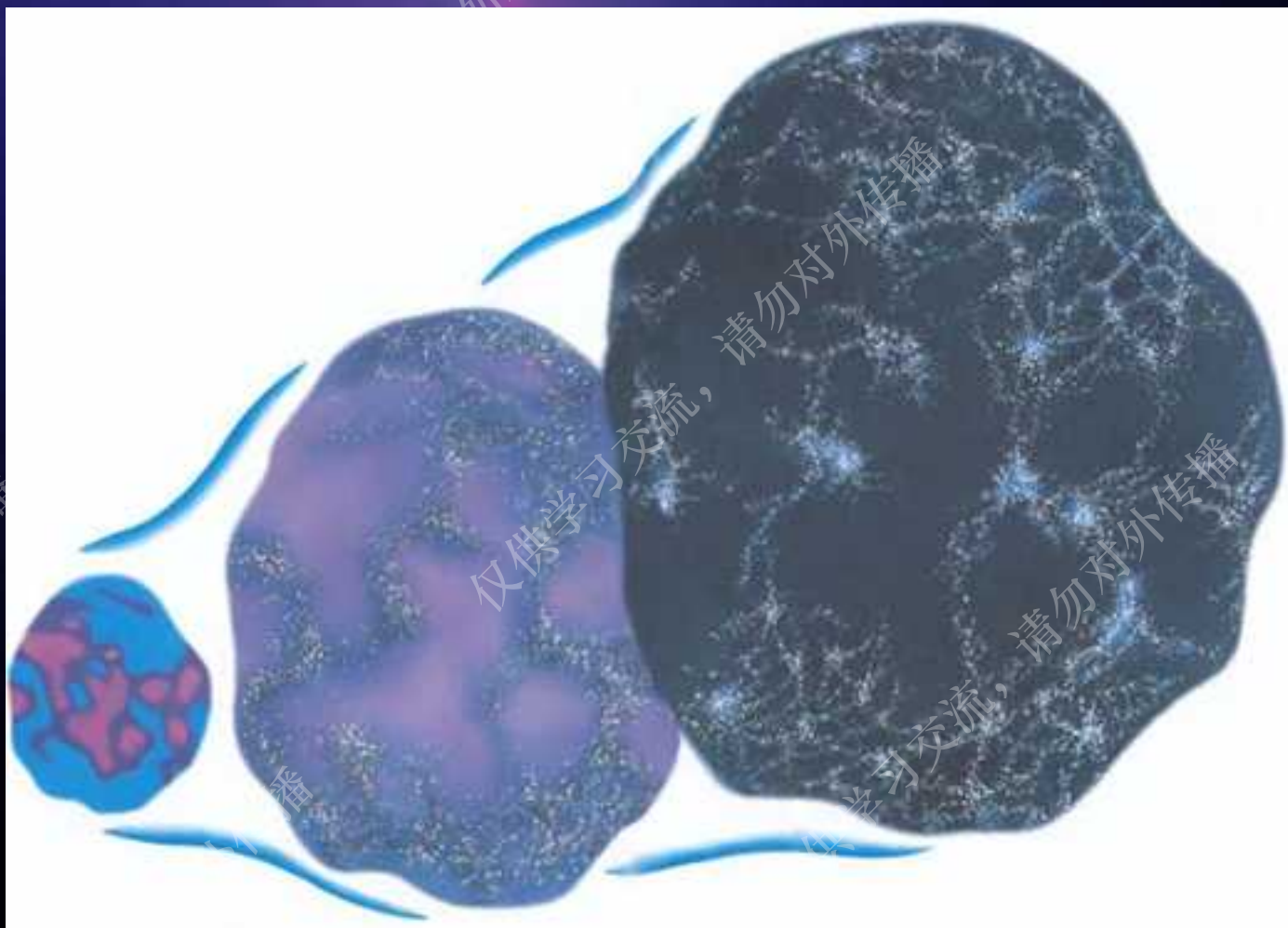
计算宇宙学团组



THE MICROWAVE SKY



These tiny fluctuations have evolved into clusters of galaxies today

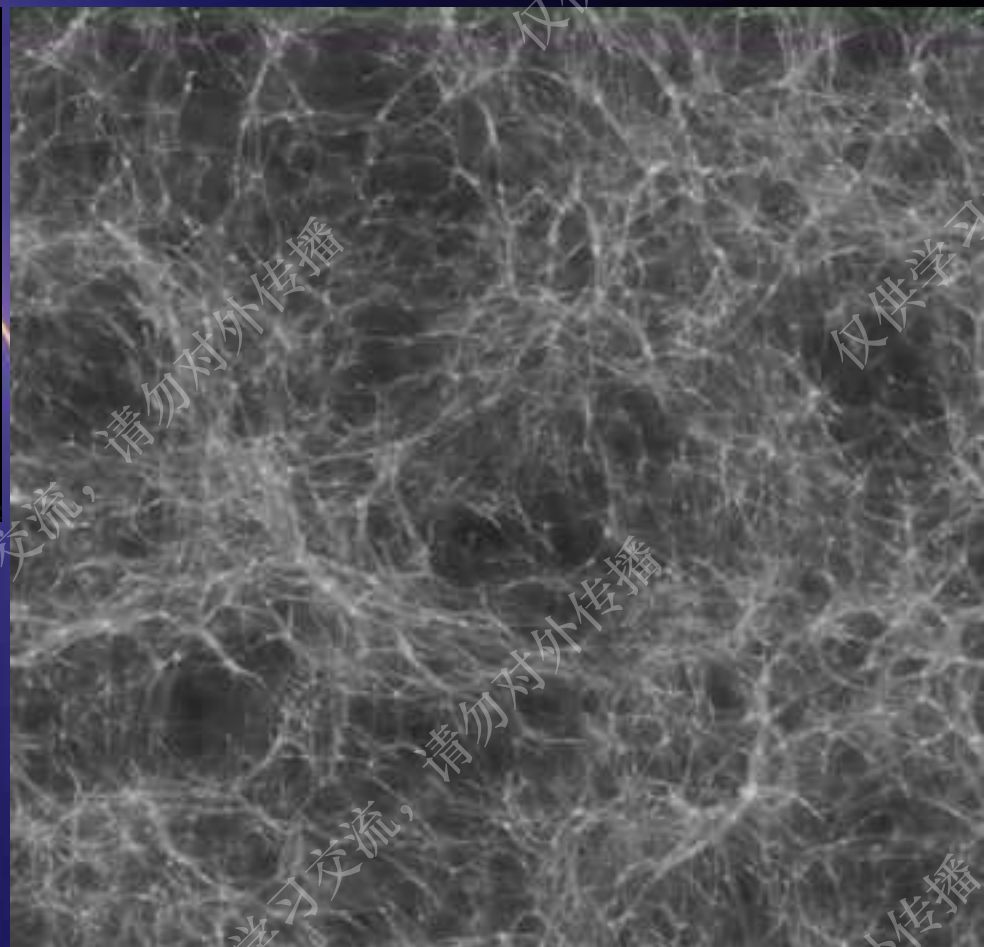
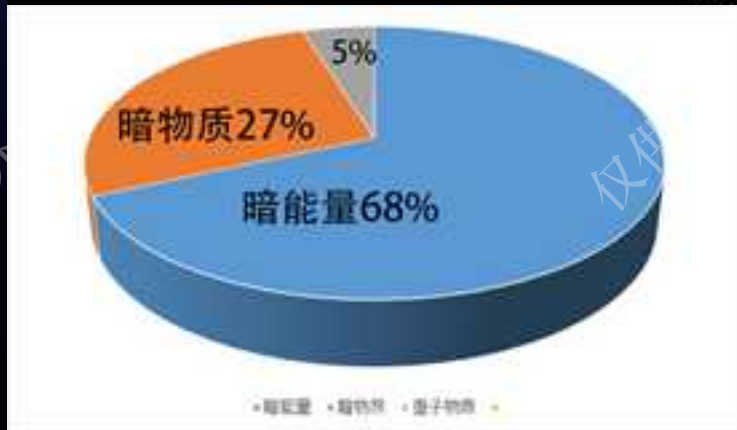
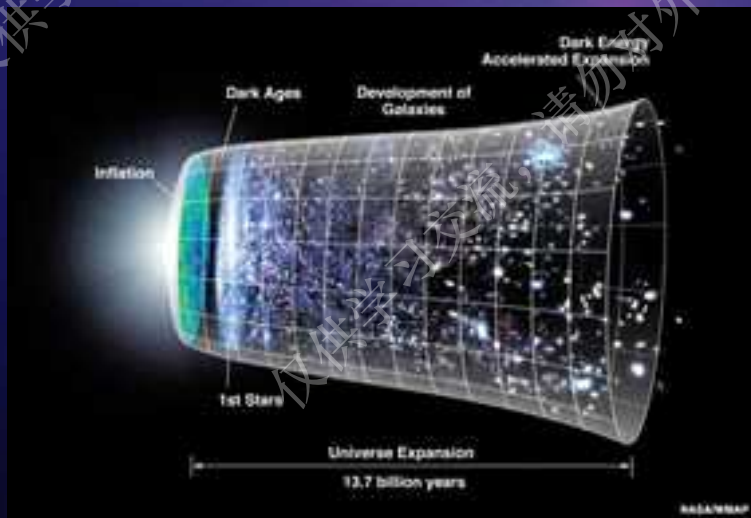


宇宙学结构形成物理—very simple!

- 引力主导宇宙所有结构形成
- 流体力学、热力学主导恒星/星系形成
- 微观物理（辐射、核反应）主导重元素的形成以及产生光

物理过程高度非线性，理论理解方面只能依靠数值模拟！

用计算机重演宇宙形成演化历史



解释、指导天文观测；验证、完善理论

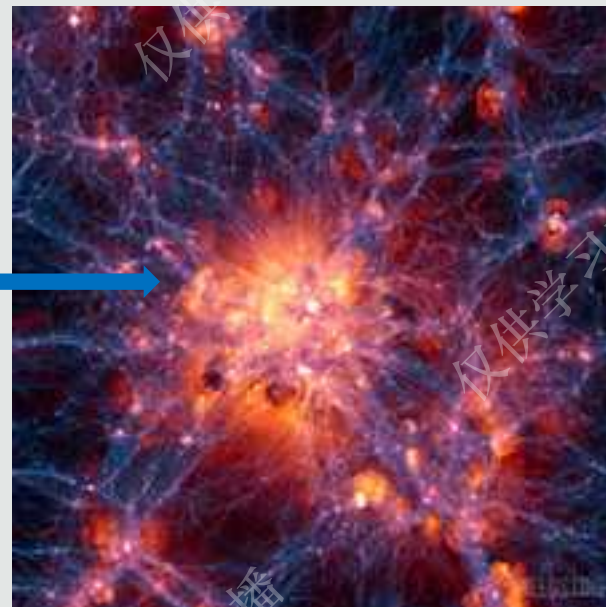
研究内容

宇宙物质组成成分：

- 27% 暗物质
- 5% 重子物质（气体、恒星）
- 68% 暗能量 → 宇宙加速膨胀

遵循的基本物理原理

- 1) 暗物质、气体、恒星：引力（泊松方程）
- 2) 气体（理想气体方程）



$$\ddot{\mathbf{x}}_i = -\nabla_i \Phi(\mathbf{x}_i)$$

$$\Phi(\mathbf{x}) = -G \sum_{j=1}^N \frac{m_j}{[(\mathbf{x} - \mathbf{x}_j)^2 + \epsilon^2]}$$

连续性方程

$$\frac{d\rho}{dt} + \rho \nabla \cdot \mathbf{v} = 0$$

动量方程

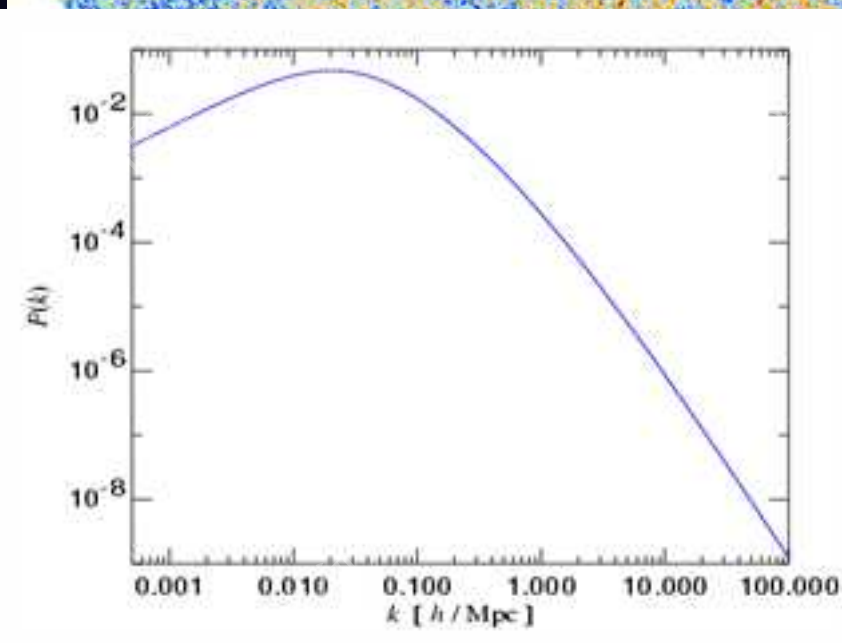
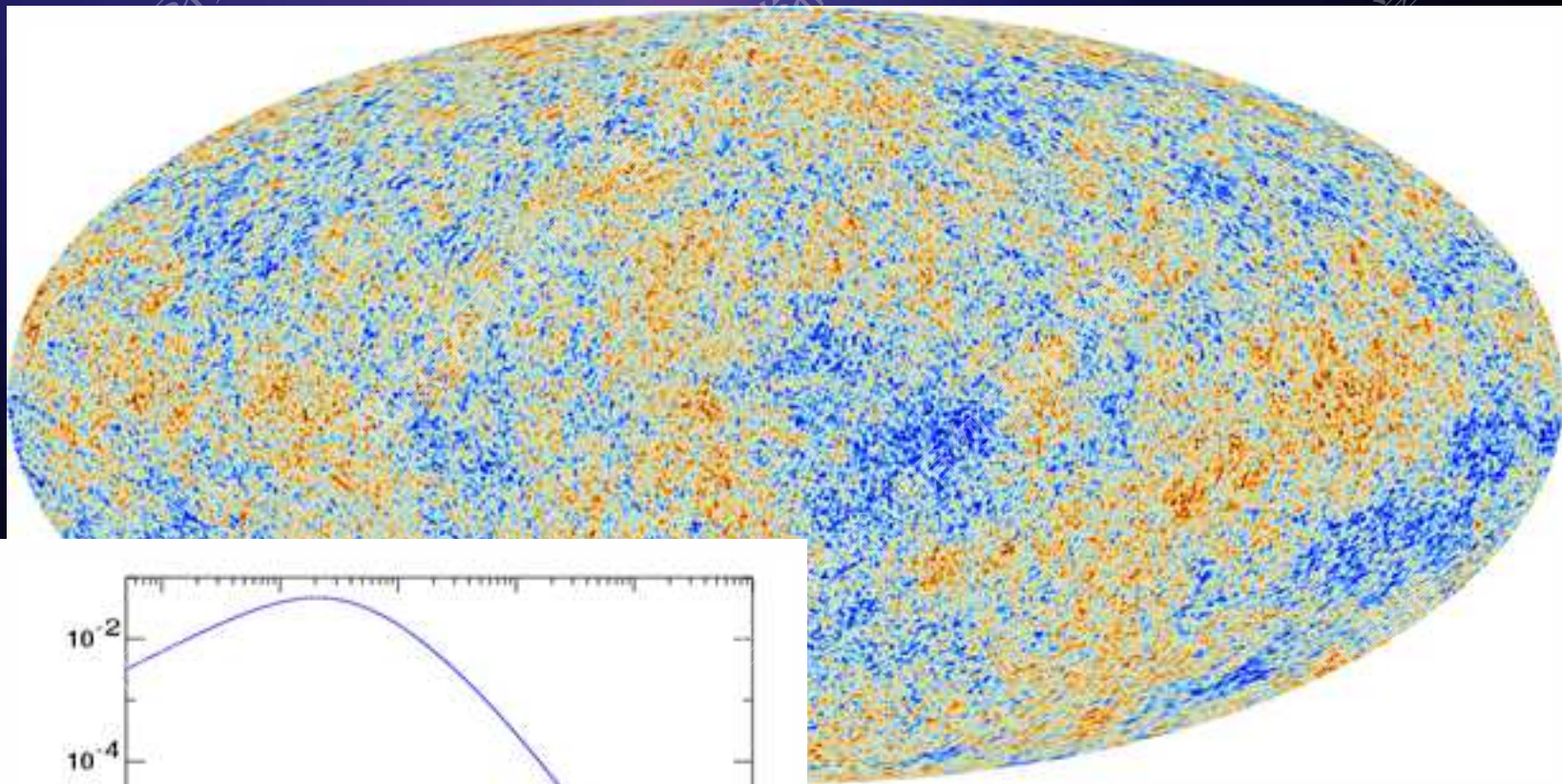
$$\frac{d\mathbf{v}}{dt} = -\frac{\nabla P}{\rho} - \nabla \Phi$$

能量方程

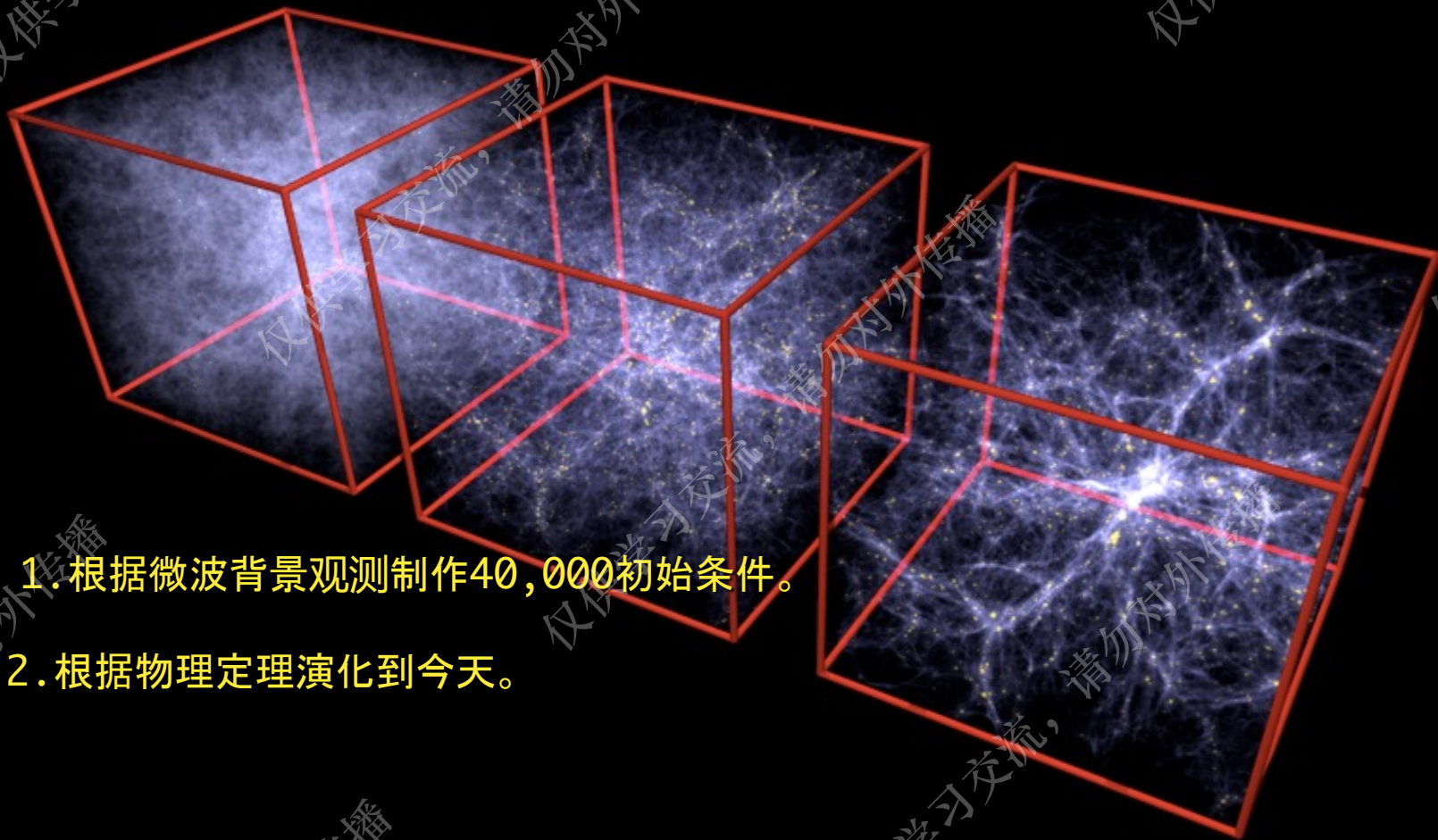
$$\frac{du}{dt} = -\frac{P}{\rho} \nabla \cdot \mathbf{v} - \frac{\Lambda(u, \rho)}{\rho}$$

- 3) 复杂天体物理过程（微观物理）

宇宙原初条件可以从宇宙微波背景辐射获得



用计算机重演宇宙演化

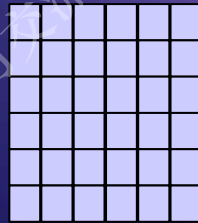


1. 根据微波背景观测制作40,000初始条件。

2. 根据物理定理演化到今天。

引力计算

- Particle Mesh (PM)

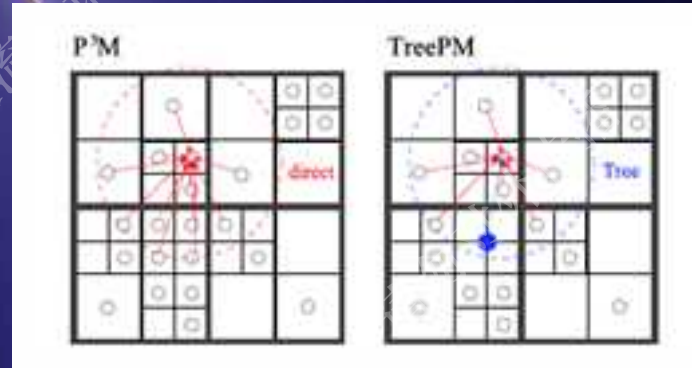


泊松方程在傅里叶空间存在格林函数
可以利用快速傅里叶变换

- Particle-Particle PM (P3M)

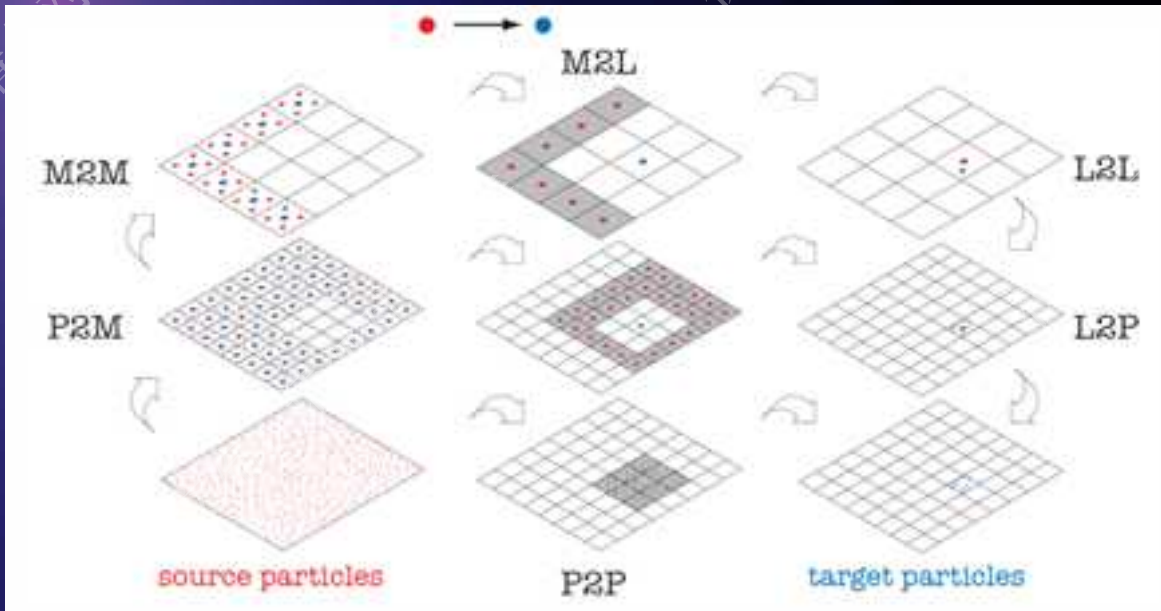
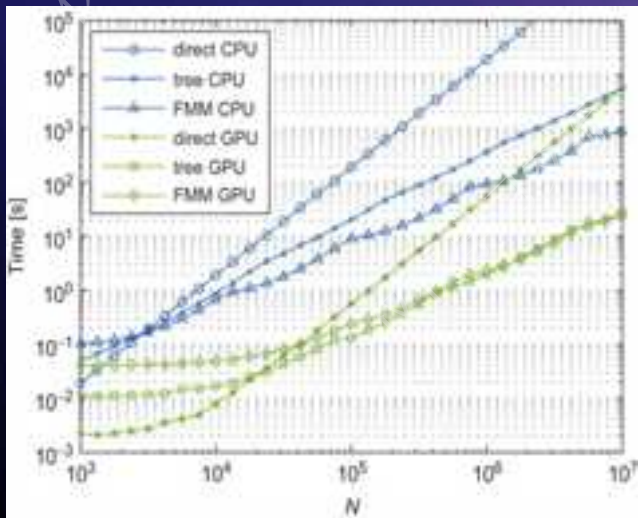
- Tree ; Tree-PM (Gadget)

- FMM (线性可扩展性)



Photons

- 当 $N > 10^{10}$, FMM效率相对流行的Tree-PM高



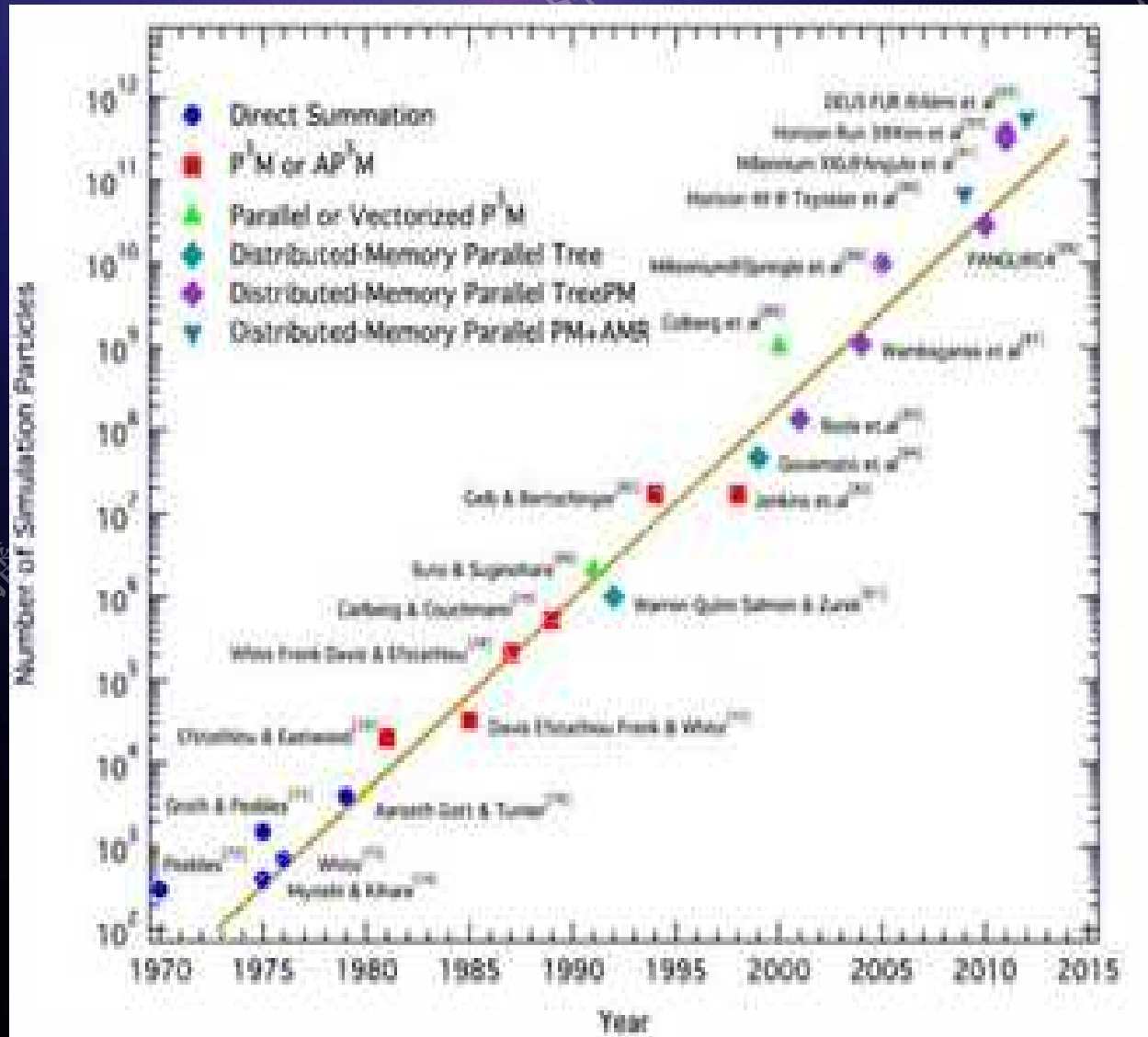
Yokota & Barba 2011

FMM是 $O(N)$ 的算法。在超大规模的情况,可扩展性更好

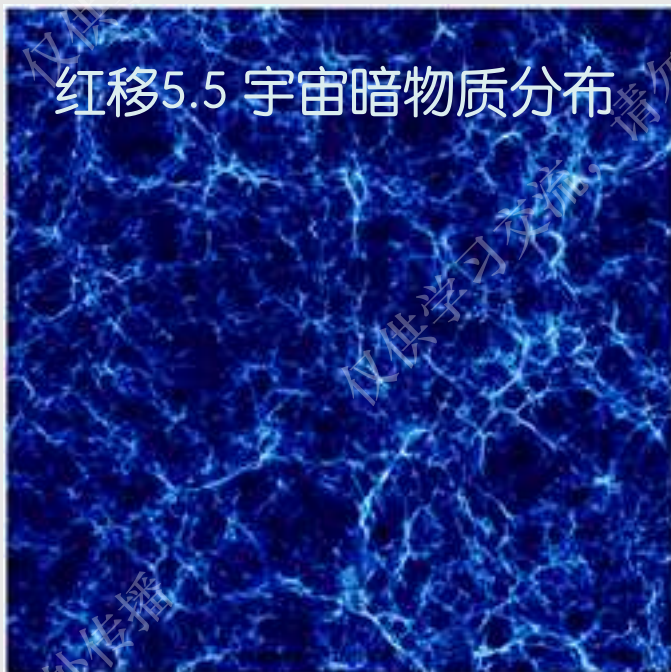
- 采取FMM+PM混合求解泊松方程
- 90% 算力在加速卡

王乔, 高亮等, 2019

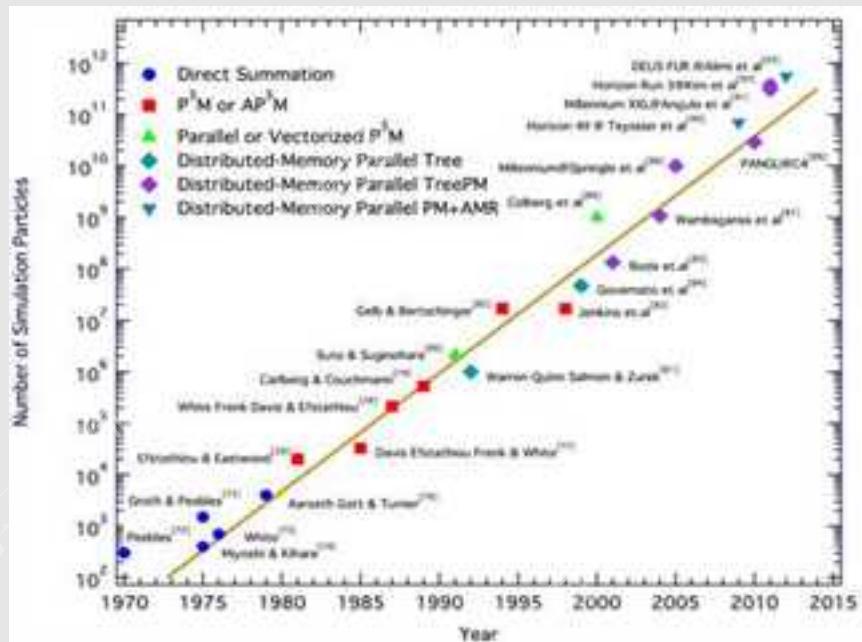
宇宙学数值模拟规模 VS. 模拟年代



世界最大规模、最高精度宇宙再电离期宇宙学模拟——群青



粒子最大规模 vs 年代 Ultramarine

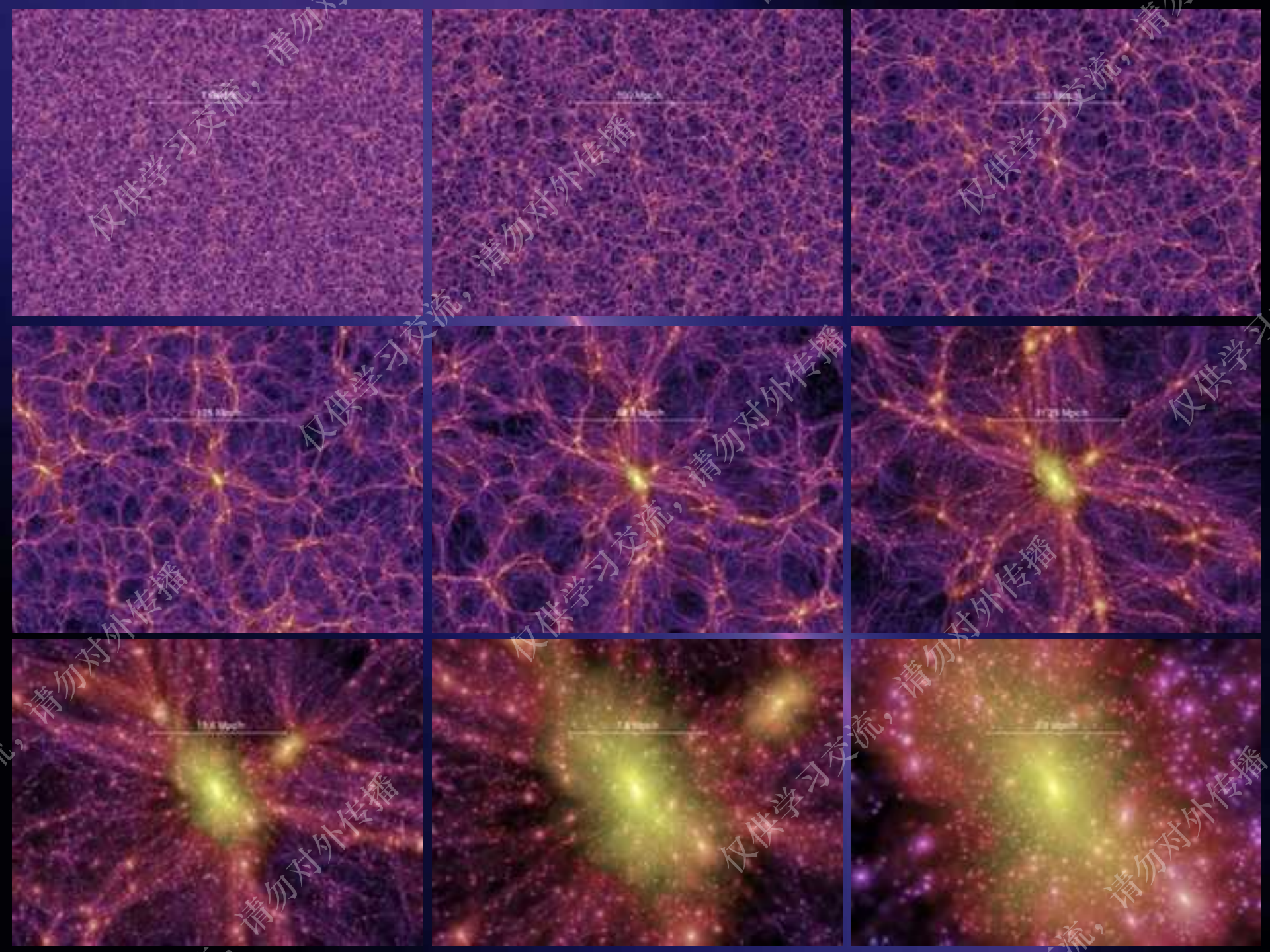


群青

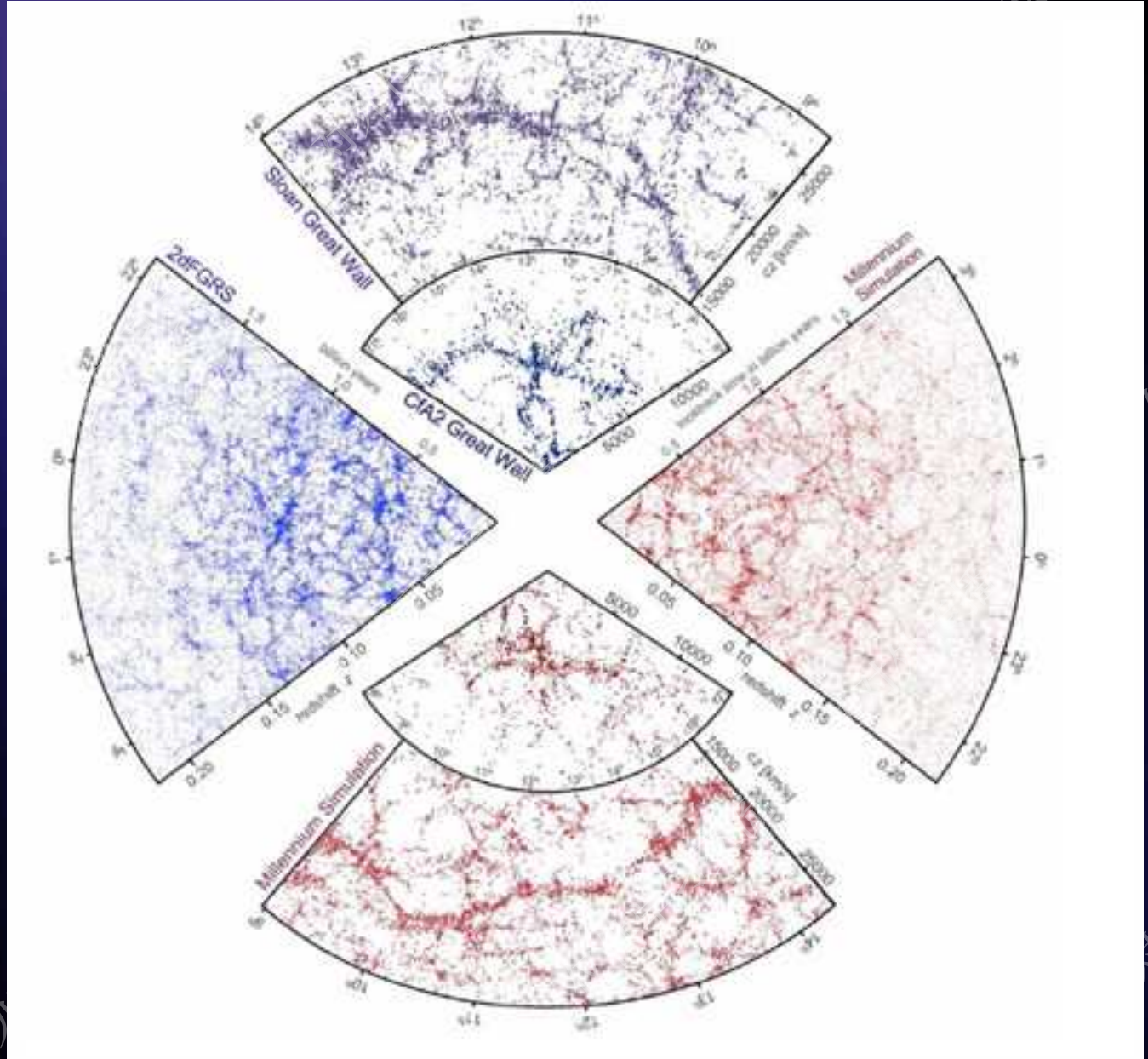
- 粒子数2万亿，质量分辨率500万太阳质量
- 2倍世界纪录模拟预计本月完成



东升一号



虚拟 v.s. 观测



暗物质晕

A 'Milky halo' Springel et al.
2008



10^{12} 太阳质量

A rich galaxy cluster
halo Gao et al. 2012



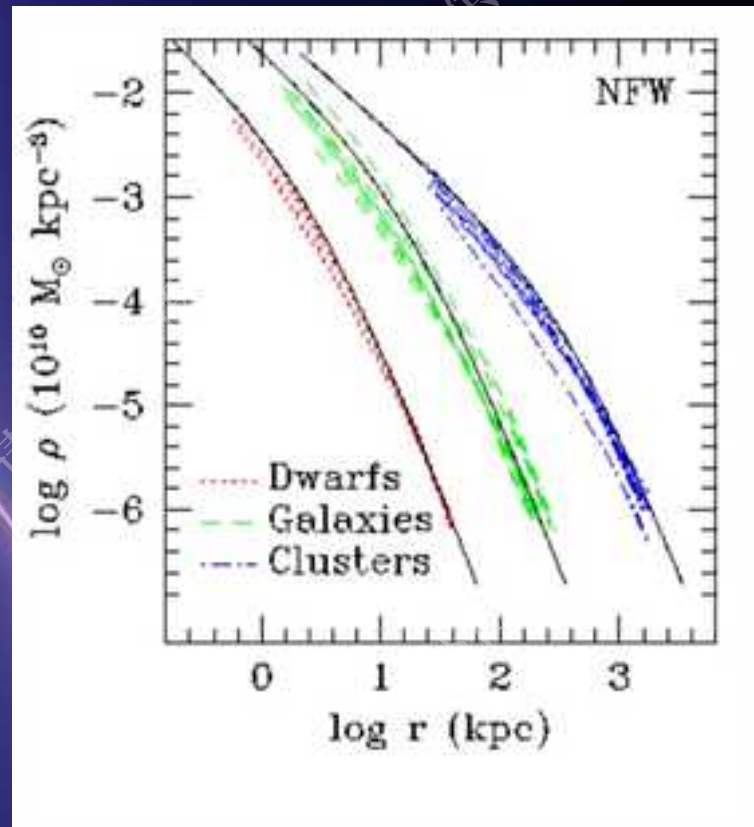
10^{15} 太阳质量

Density profiles of dark matter halos

$$\rho(r)/\langle\rho\rangle \approx \delta r_s / r(1 + r/r_s)^2$$

Navarro et al. 1996

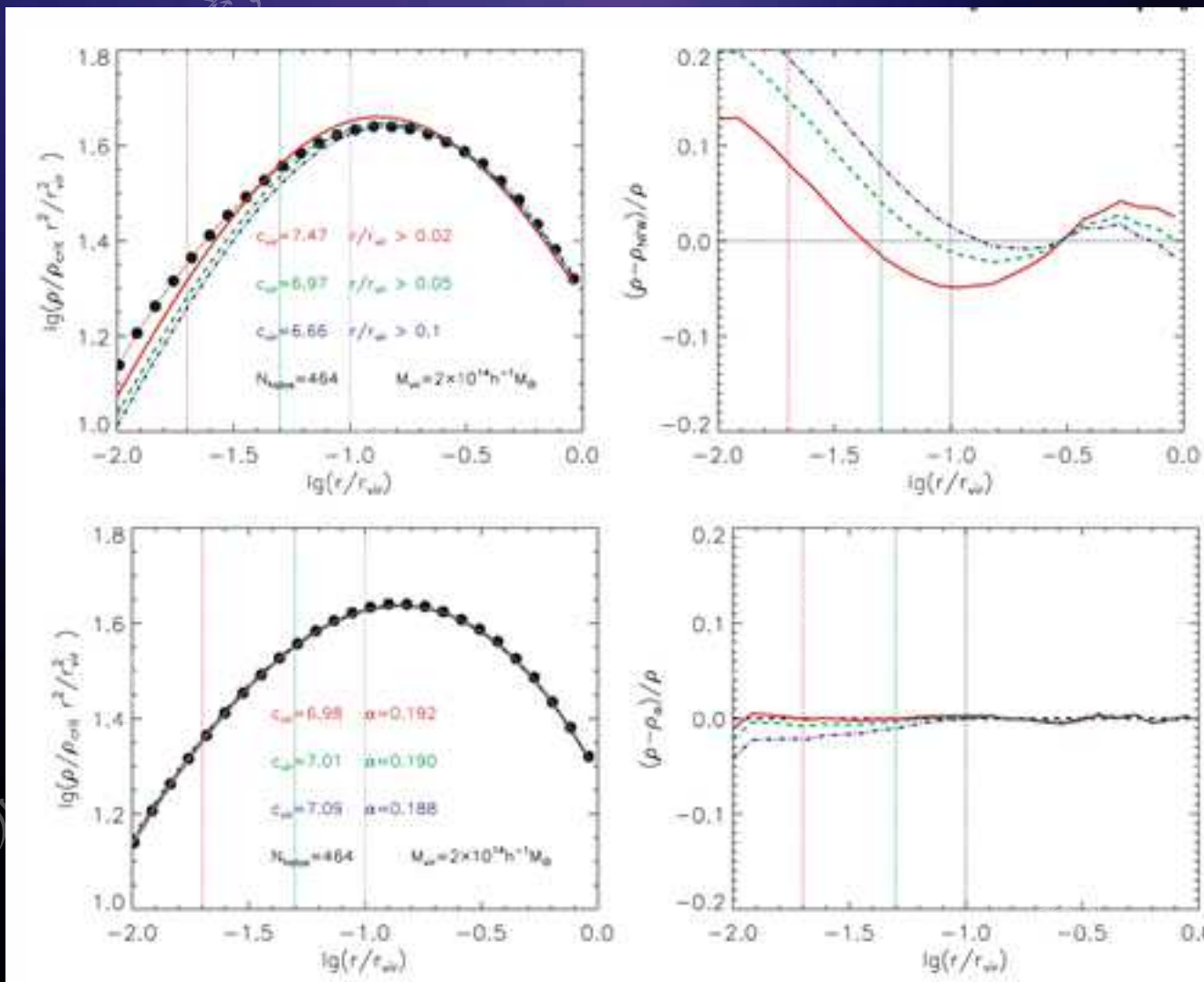
Resolution ~ 10000 Particles per halo



NFW v.s Einasto

Gao et al. 2008

1e5 particles per halo

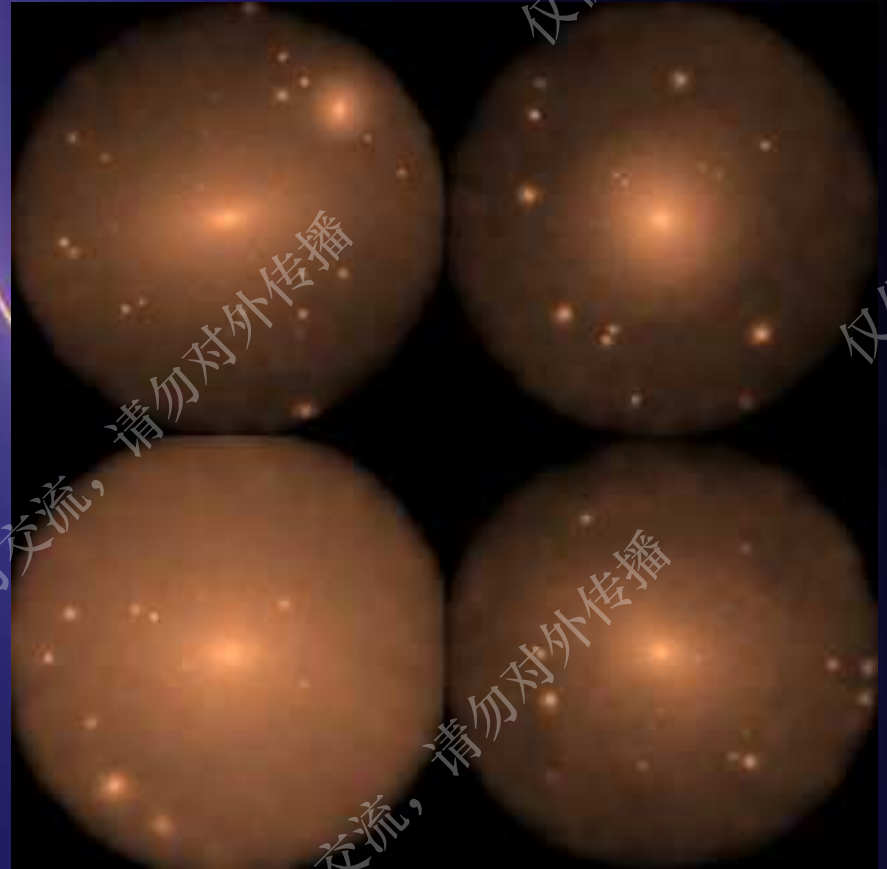
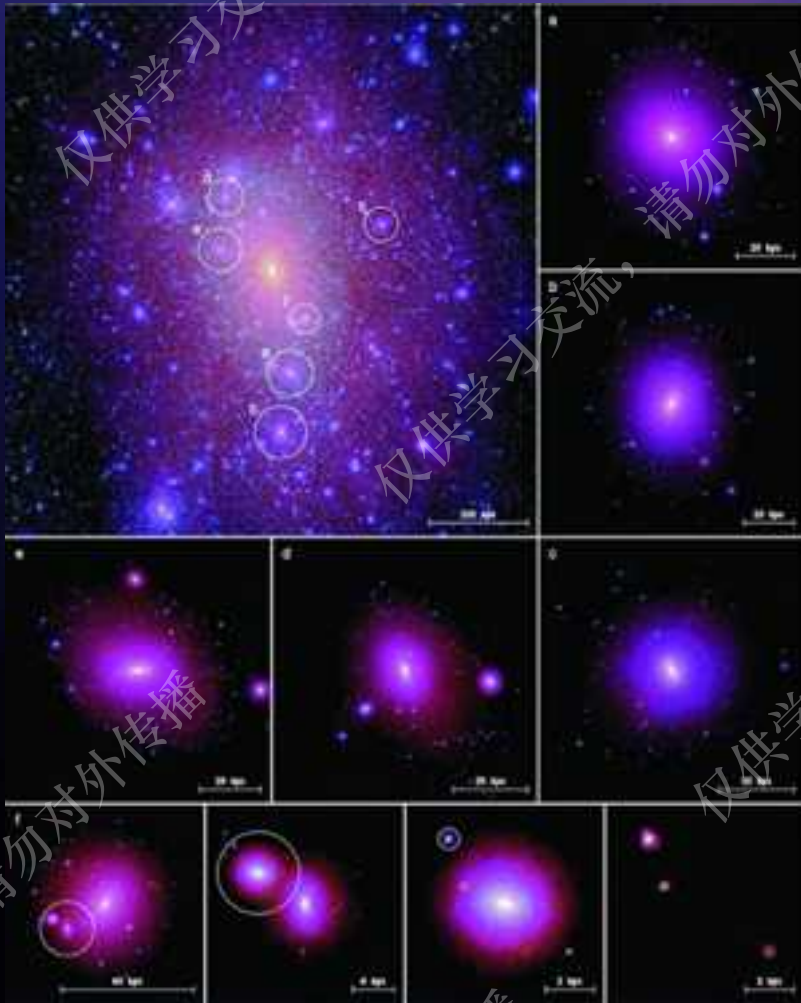


Einasto fits:

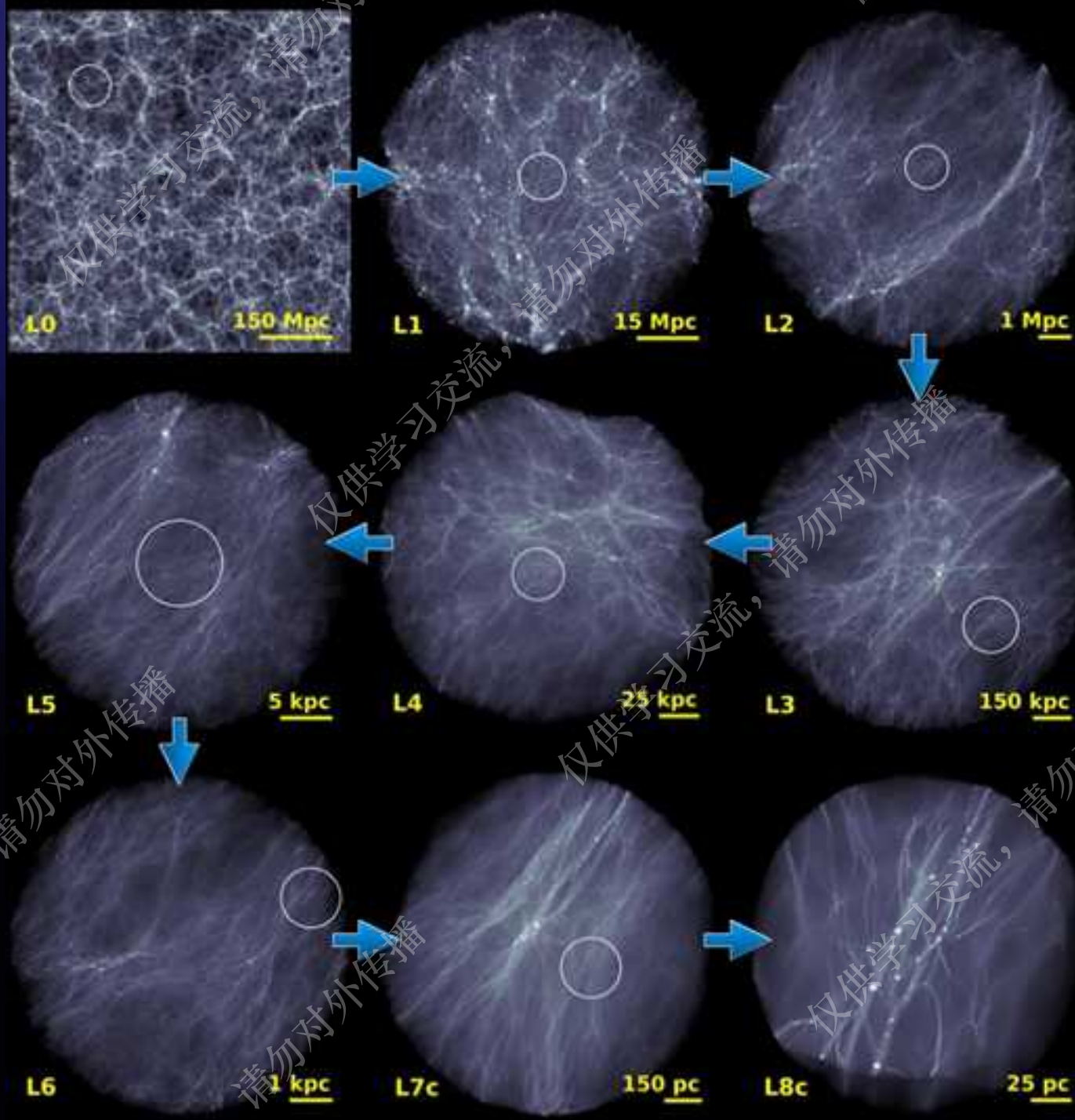
$$\ln \left(\frac{\rho}{\rho_{-2}} \right) = - \left(\frac{2}{\alpha} \right) \left[\left(\frac{r}{r_{-2}} \right)^\alpha - 1 \right]$$

α is a free para

Navarro et al. 2003



子结构又含子-子结构。。。。

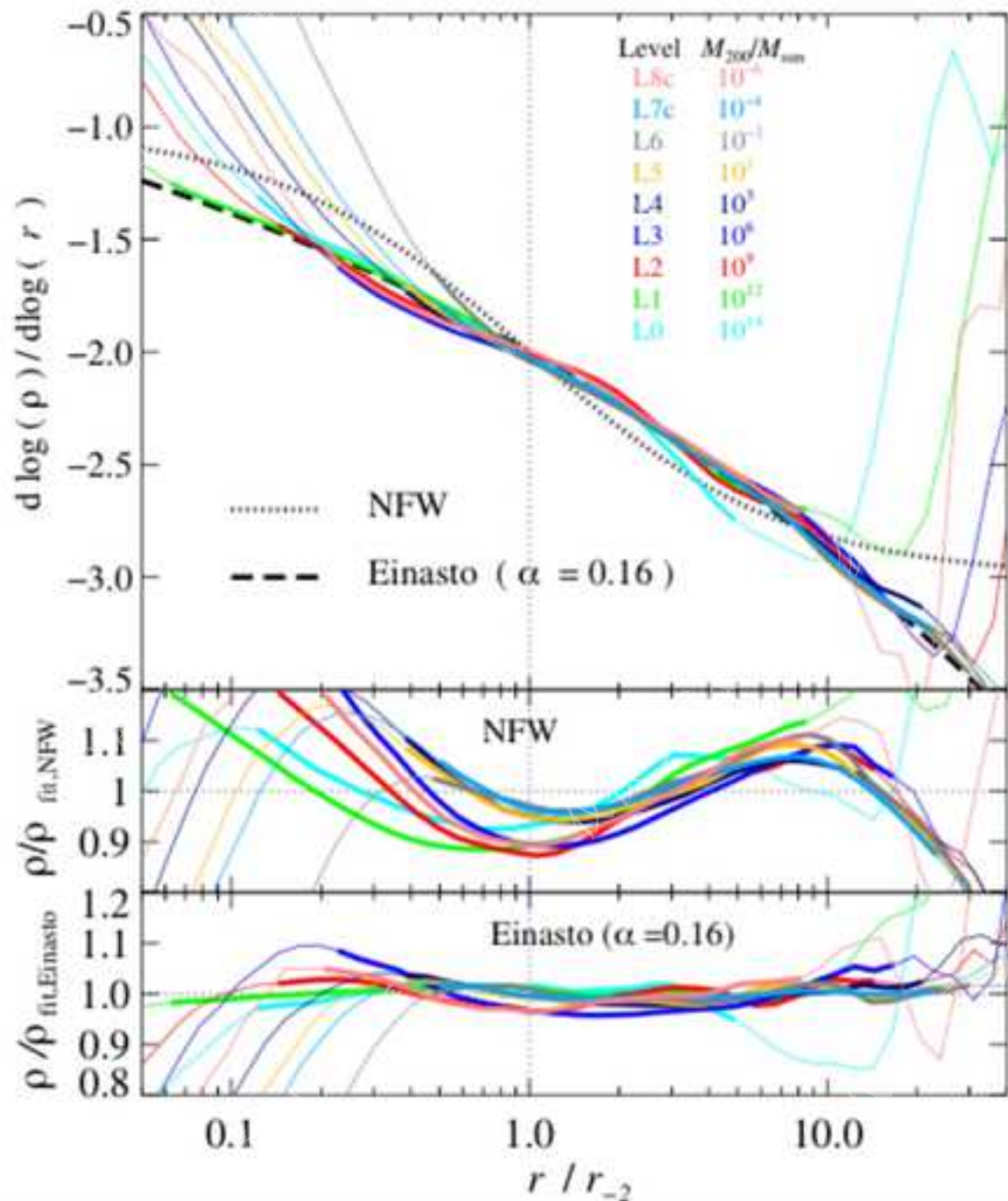


通过八级

Zoom-in

模拟

解析出所有
质量的暗晕的结
构



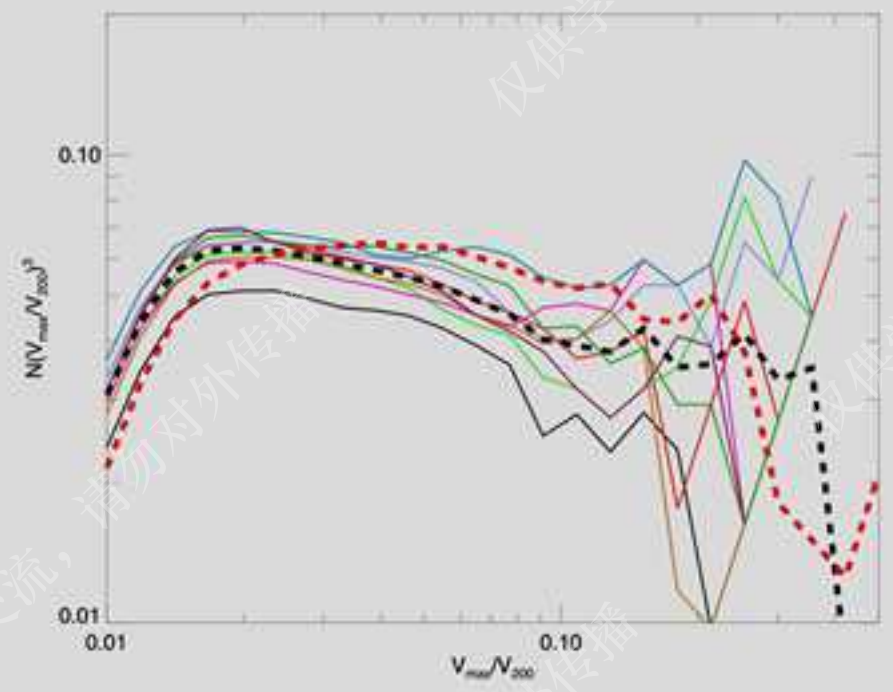
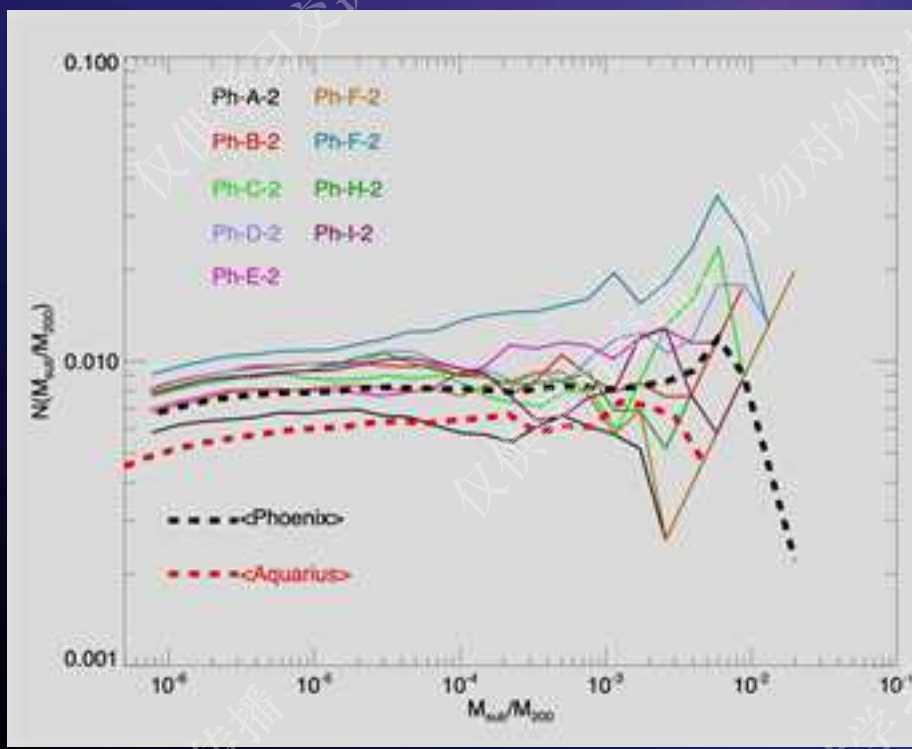
结宇宙所有质量
暗晕构高度相似

Wang et al.
2020, Nature

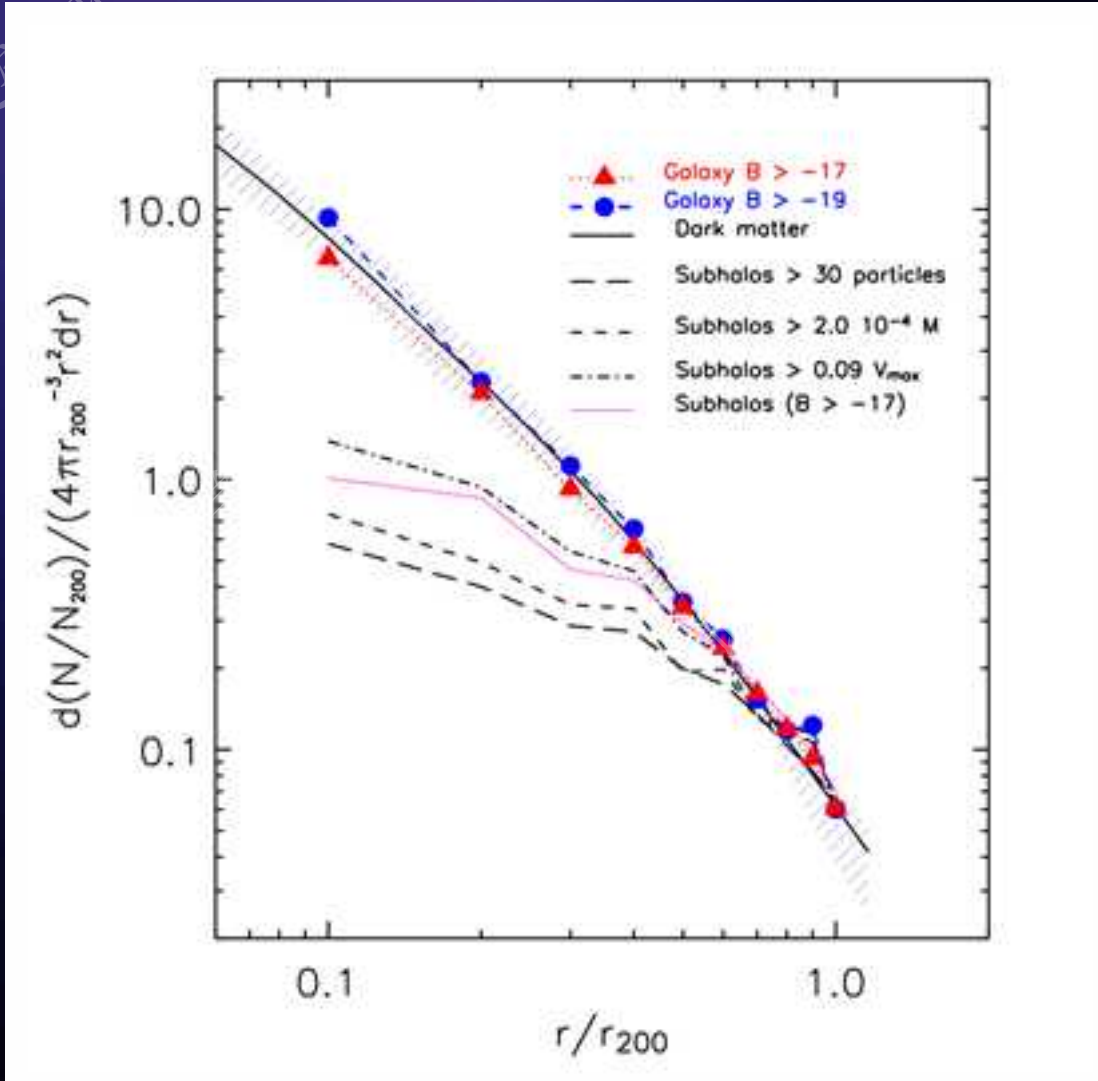
仅供学习交流，请勿对外传播

仅供学习交流，请勿对外传播

流，请勿对外传播



暗晕结构及其子结构接近自相似

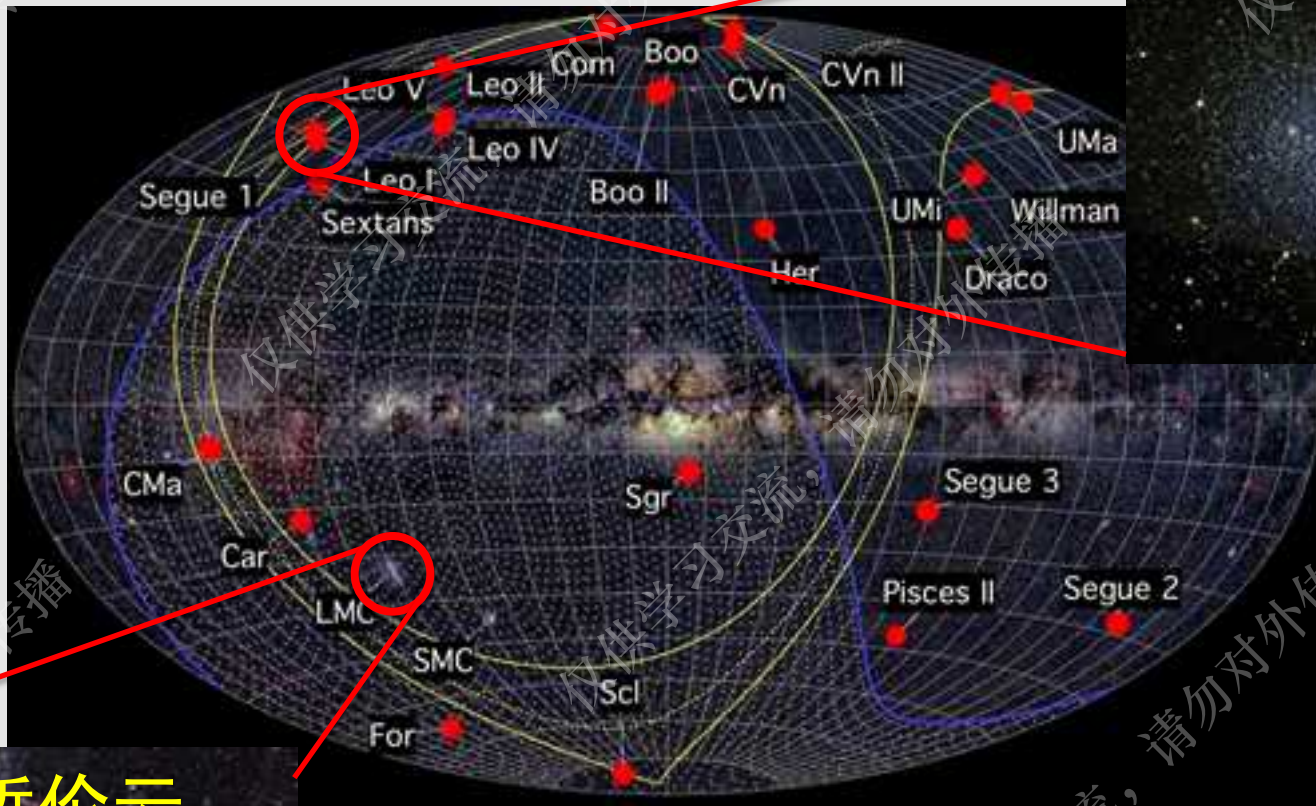


暗晕子结构分布比暗物质less concentrated

宇宙结构最基本单元—暗物质晕 冷暗物质预言

- 暗晕密度轮廓是尖的
- 暗物质晕包含相当多的子结构
- 暗晕可近似为自相似 scale free

Leo I 矮椭星系



大麦哲伦云

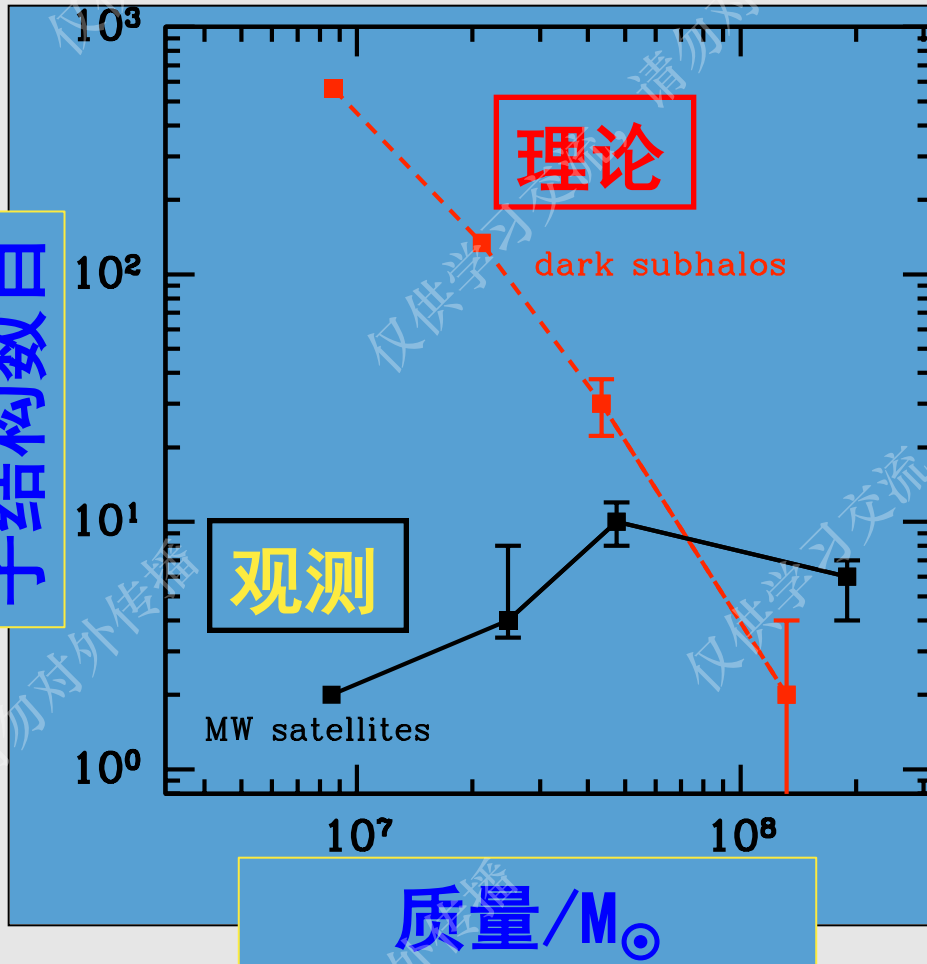
The missing satellite problem

可见子结构数目

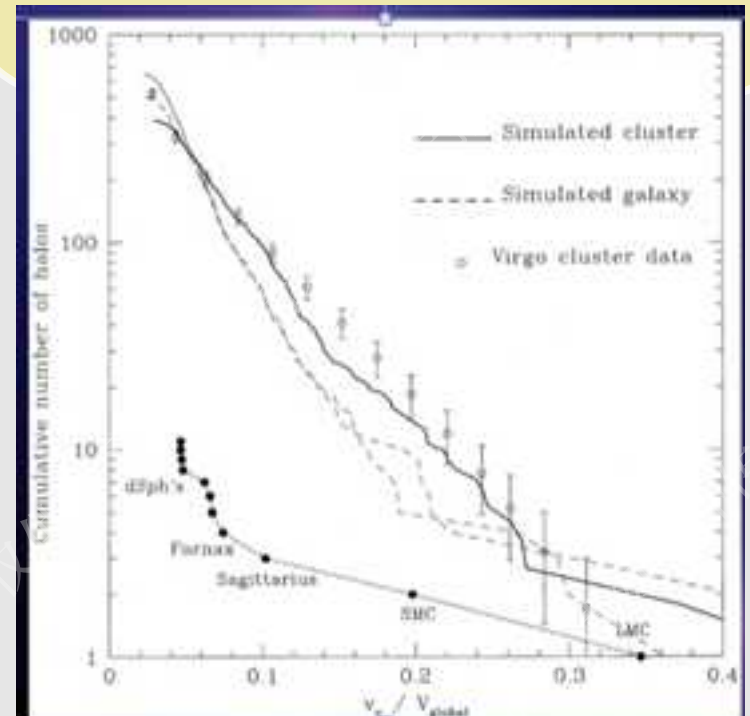


冷暗物质模型预言的
子结构数目

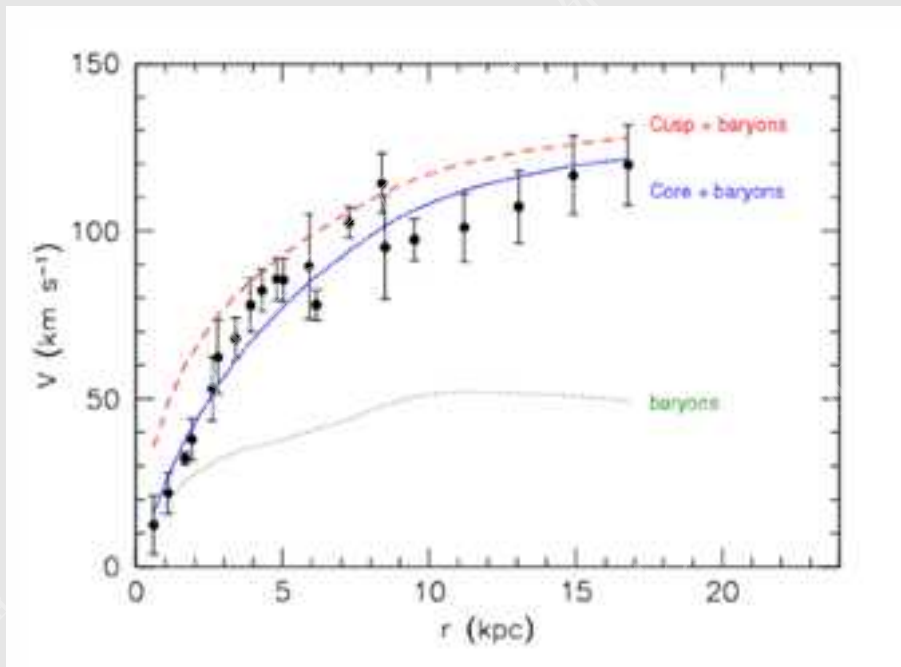
子结构数目



Moore et al. 1996



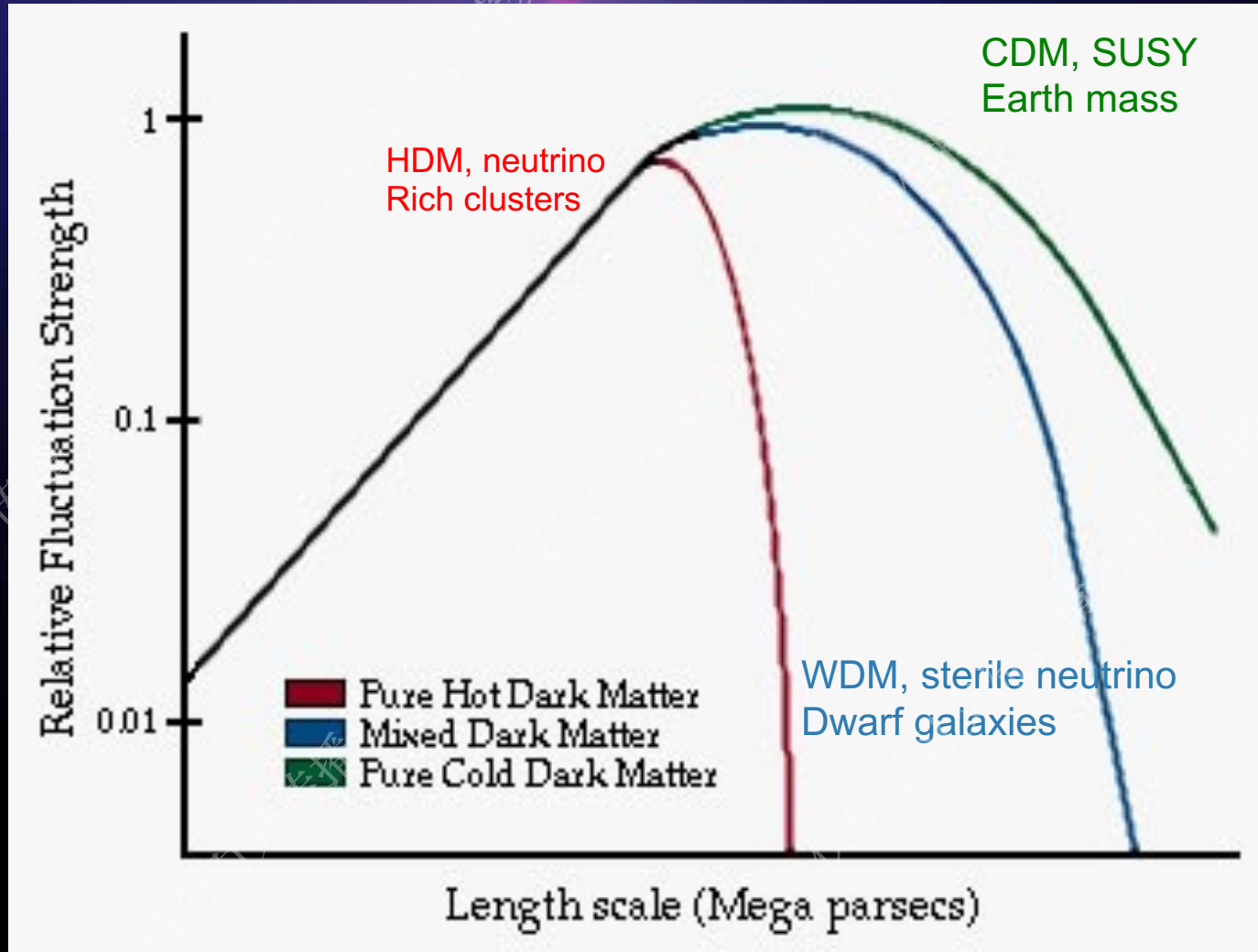
矮星系内部密度结构问题



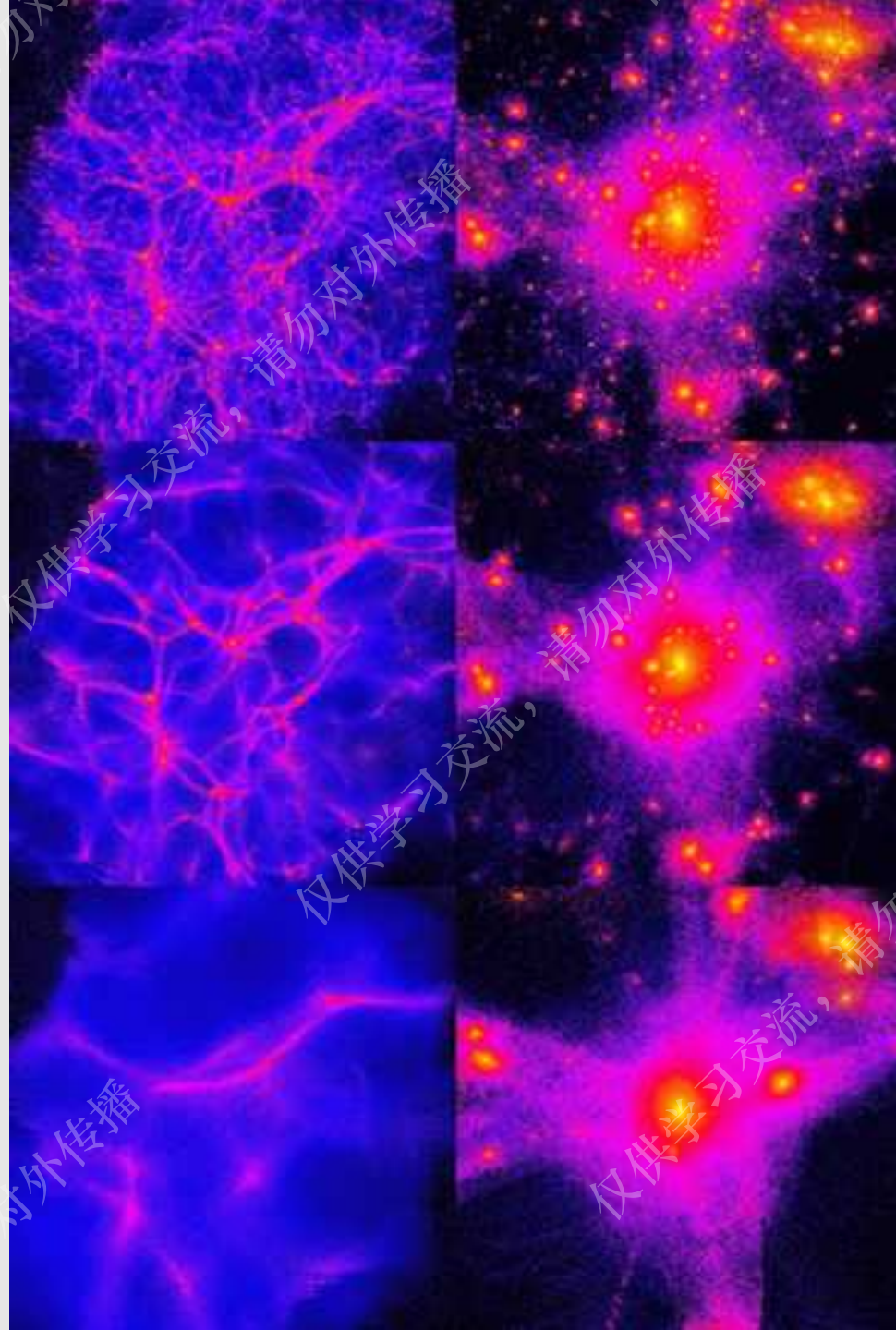
Kuzio de Naray et al 08

Core/Cusp problem

宇宙结构形成历史由宇宙原初功率，而原初功率谱由暗物质属性决定



不同暗物质模型对宇宙结构形成的影响



冷暗物质

温暗物质

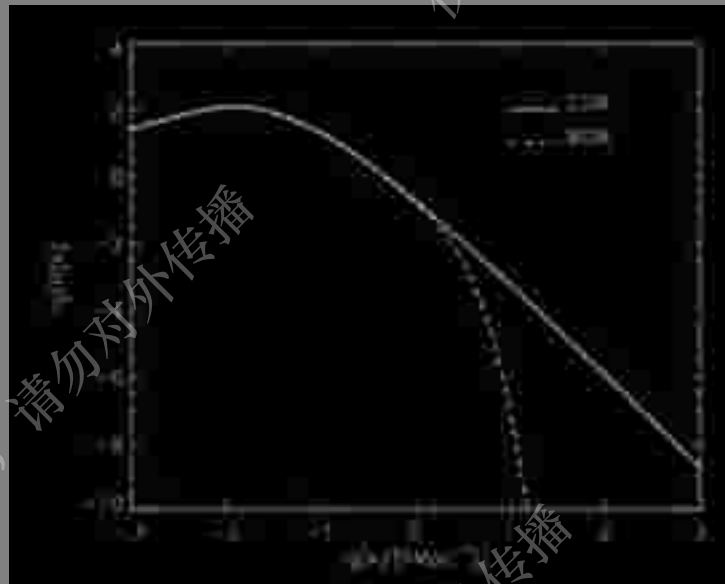
热暗物质

温暗物质模型独有特征

Particles free streaming



Power spectrum



Momentum distribution f_n

$$f_{FD}(p) = \frac{g}{(2\pi\hbar)^3} \frac{1}{e^{(E-\mu)/T_D} + 1}$$

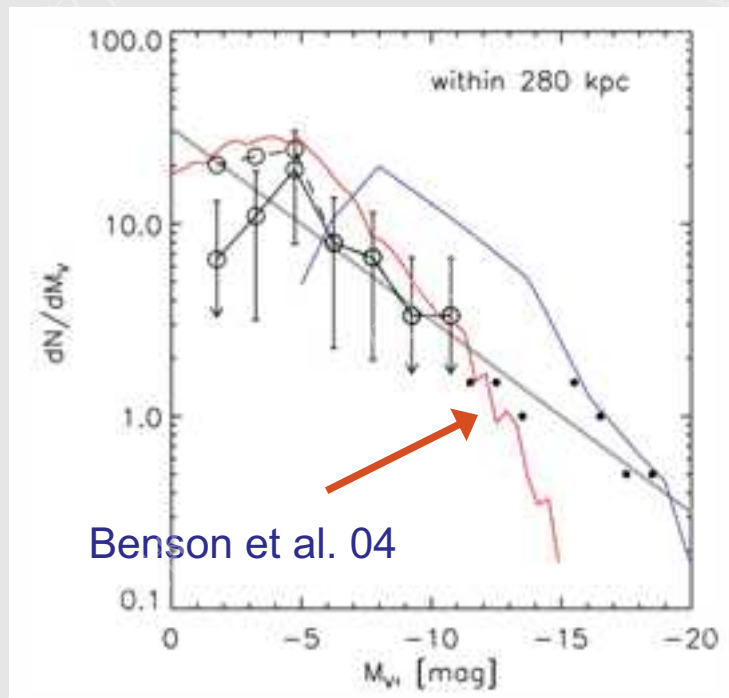
Cored (PSD constrain)

Reduces low mass halo abundance

To solve cusp/core problem

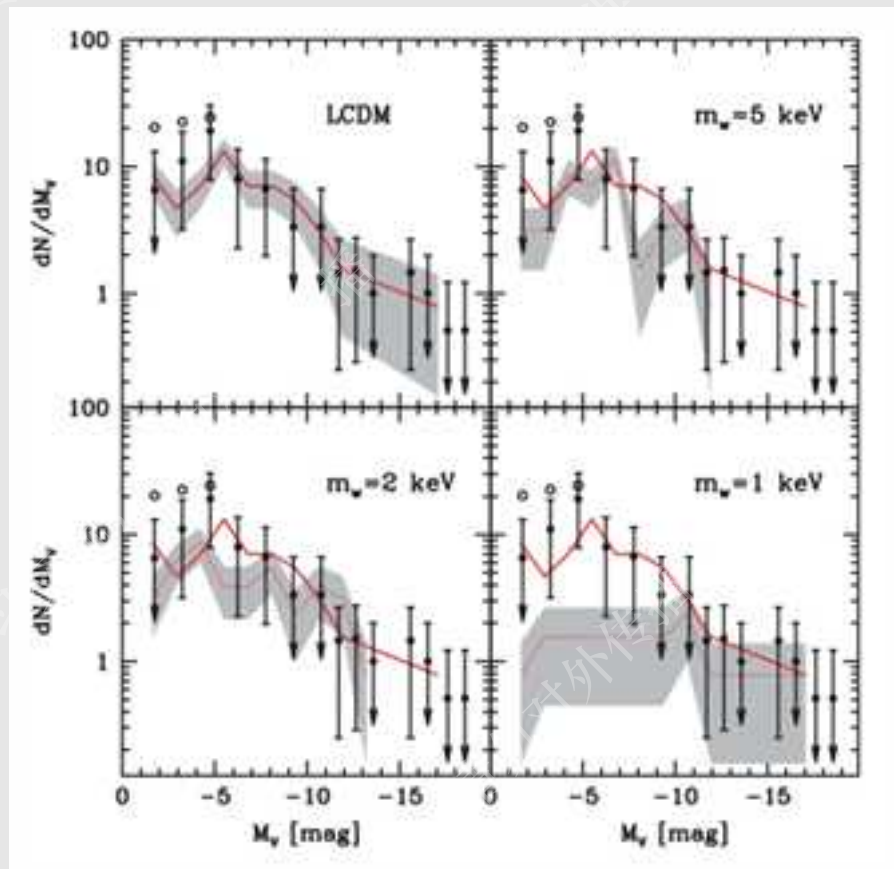
To solve MW satellites problem

银河系卫星星系缺失问题



Koposov et al. 2008

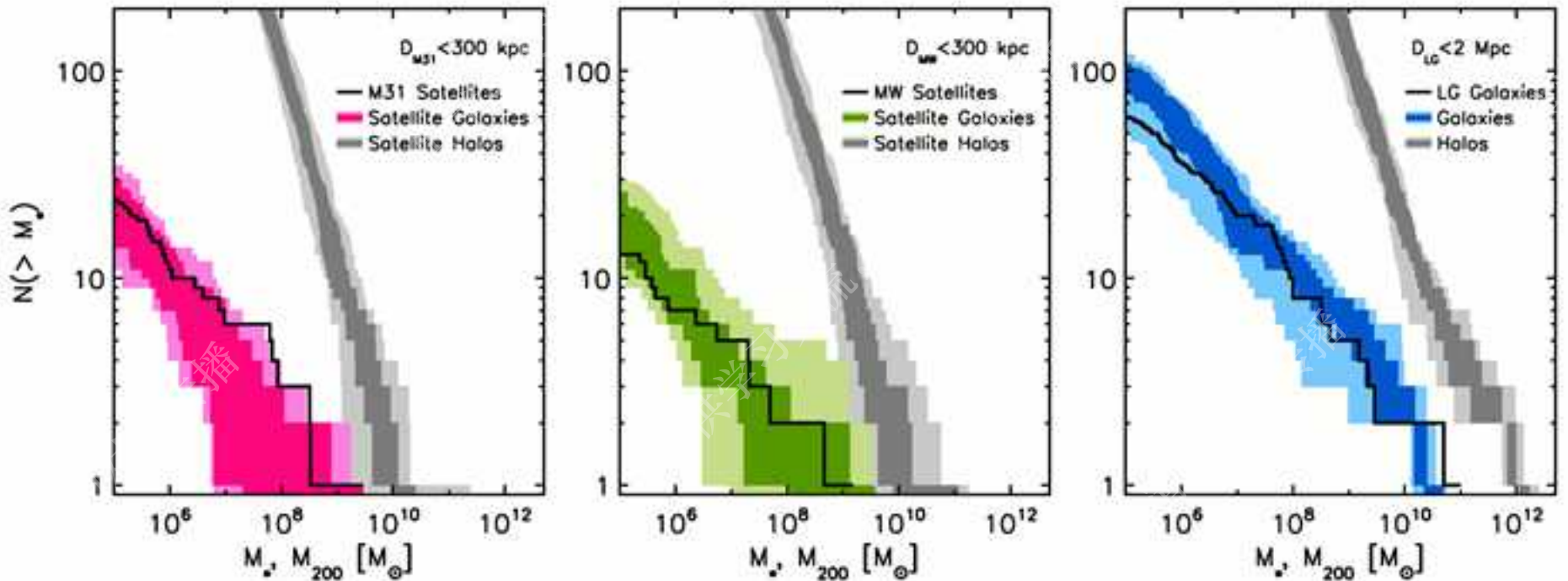
宇宙再电离，加热气体，
小暗晕无法发生星系形成



Maccio et al. 2010, SAM

WDM does a good job too!

Missing satellites problem



Apostle simulation

Sawala et al. 2016

Fine-grained Phase Space Density Bound

- Warm dark matter candidates, e.g. thermal relics, their moment distribution follow a Fermi-Dirac distribution (Tremaine & Gunn 1979).

$$f_{FD}(p) \approx \frac{g}{(2\pi\hbar)^3} \frac{1}{e^{pc/T_D} + 1}$$

- We can derive the density

$$\rho = m_x \times n = \frac{gm_x}{(2\pi\hbar)^3} \int \frac{d^3p}{e^{pc/T_D} + 1} \leq \frac{gm_x^4}{2(2\pi\hbar^3)} \int d^3v$$

- upper bound of fine-grained phase space density is

$$f_{FD} = \frac{gm_x^4}{2(2\pi\hbar)^3}$$

Maximal coarse-grained Phase space density estimation

- Assume central region of warm dark matter halos have a pseudo-isothermal profile

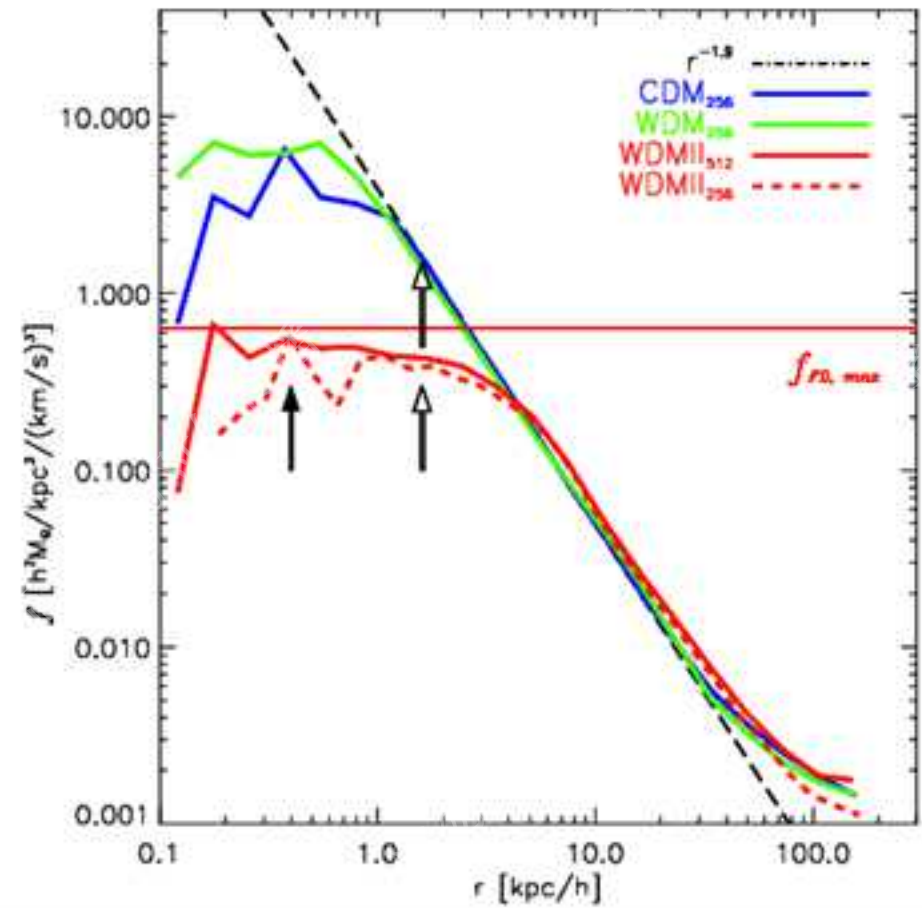
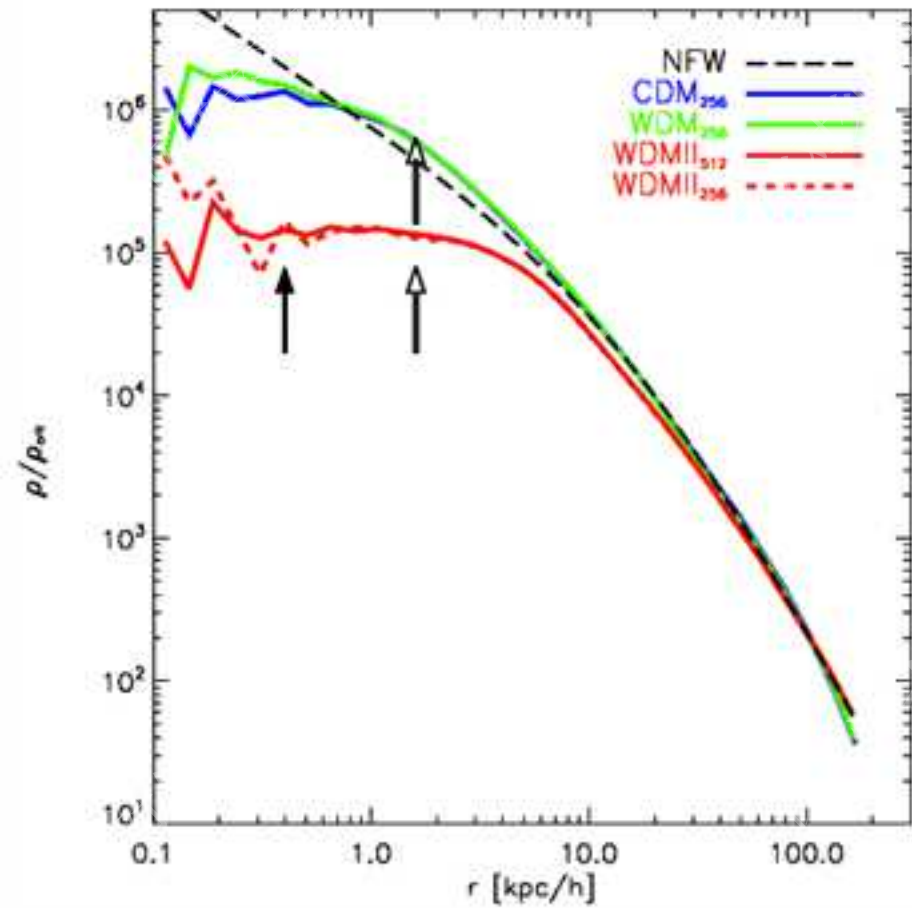
$$\rho(r) = \frac{\rho_0}{[1 + (\frac{r}{r_c})^2]}.$$

- Central density, core radius and velocity dispersion is related as

$$\rho_0 = \frac{1}{2\pi G} \frac{\sigma^2}{r_c^2}.$$

- Coarse-grained maximum phase space density as

$$f_0 = \frac{\rho_0}{(2\pi\sigma^2)^{3/2}} = \frac{1}{(2\pi)^{5/2}G} \frac{1}{\sigma r_c^2}.$$



Real and phase space density profiles

Application to real data

- Assume the stellar and dark matter component has the same core radius in dSphs

$$f_0 = \frac{\rho_0}{(2\pi\sigma^2)^{3/2}} = 7.05 \frac{M_\odot/\text{pc}^3}{(\text{km s}^{-1})^3} \left(\frac{\text{km/sec}}{\sigma} \right) \left(\frac{1\text{pc}}{r_h} \right)^2. \quad (11)$$

For the pseudo-isothermal profile, its projected surface density $S(R)$ can be written as:

$$S(R) = \int_{-\infty}^{\infty} \rho[(R^2 + z^2)^{1/2}] dz = \frac{S_0 r_c}{\sqrt{r_c^2 + R^2}} \quad (12)$$

where R is projected radius, $S_0 = \pi\rho_0 r_c$ is central surface density. Hence the half projected surface density r_h can be related to half density r_c as, $r_h = \sqrt{3}r_c$.

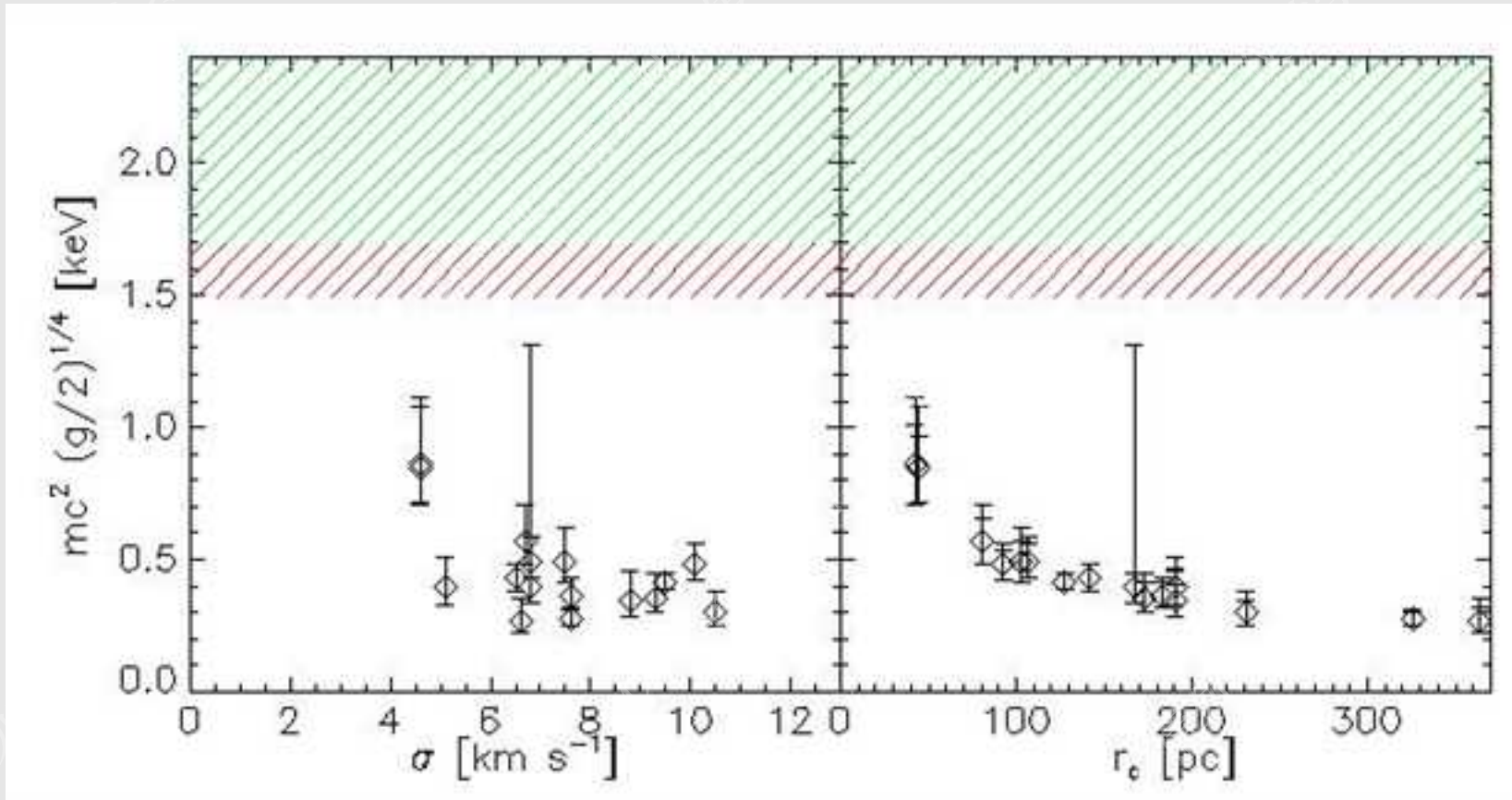
By requiring $f_0 \leq f_{FD}$, mass bound for thermal relic Fermi-Dirac particles can be written as

$$m_{FD}^4 \geq \frac{6(2\pi\hbar)^3}{(2\pi)^{5/2} g G \sigma r_h^2}. \quad (13)$$

dSph (1)	r_h [pc] (2)	σ [km/s] (3)	f_0 [$M_\odot \text{kpc}^{-3} (\text{km}/x)^{-3}$] (4)	m_{FD} [keV] (5)
dSphs from Gilmore et al. (2007)				
Sextans	630 ± 170	6.6 ± 2.3	$2.69^{+5.06}_{-1.45} \cdot 10^{-6}$	$0.269^{+0.081}_{-0.048}$
Fornax	400 ± 103	10.5 ± 2.7	$4.20^{+6.05}_{-2.09} \cdot 10^{-6}$	$0.301^{+0.075}_{-0.048}$
Leo I	330 ± 106	8.8 ± 2.4	$7.36^{+14.60}_{-4.04} \cdot 10^{-6}$	$0.346^{+0.109}_{-0.063}$
Ursa Minor	300 ± 74	9.3 ± 2.8	$8.42^{+12.81}_{-4.26} \cdot 10^{-6}$	$0.358^{+0.093}_{-0.058}$
Carina	290 ± 72	6.8 ± 1.6	$1.23^{+1.62}_{-0.59} \cdot 10^{-5}$	$0.394^{+0.919}_{-0.059}$
Draco	221 ± 16	9.5 ± 1.6	$1.52^{+0.60}_{-0.39} \cdot 10^{-5}$	$0.415^{+0.036}_{-0.030}$
Bootes	246 ± 28	$6.5^{+2.1}_{-1.3}$	$1.79^{+1.06}_{-0.70} \cdot 10^{-5}$	$0.432^{+0.053}_{-0.050}$
Sculptor	160 ± 40	10.1 ± 0.3	$2.73^{+2.27}_{-1.03} \cdot 10^{-5}$	$0.480^{+0.079}_{-0.054}$
Leo II	185 ± 48	6.8 ± 0.7	$3.03^{+3.13}_{-1.30} \cdot 10^{-5}$	$0.493^{+0.096}_{-0.064}$
dSphs from Simon & Geha (2007)				
Canes Venatici I	564 ± 36	7.6 ± 2.2	$2.92^{+1.77}_{-0.92} \cdot 10^{-6}$	$0.275^{+0.035}_{-0.025}$
Ursa Major I	318^{+50}_{-39}	7.6 ± 2.4	$9.17^{+8.24}_{-3.97} \cdot 10^{-6}$	$0.366^{+0.064}_{-0.048}$
Hercules	330^{+75}_{-52}	5.1 ± 2.4	$1.27^{+2.11}_{-0.70} \cdot 10^{-5}$	$0.397^{+0.110}_{-0.072}$
Leo T	178 ± 39	7.5 ± 2.7	$2.97^{+4.63}_{-1.50} \cdot 10^{-5}$	$0.490^{+0.131}_{-0.079}$
Ursa Major II	140 ± 25	6.7 ± 2.6	$5.37^{+7.63}_{-2.58} \cdot 10^{-5}$	$0.569^{+0.141}_{-0.086}$
Leo IV	116^{+26}_{-34}	3.3 ± 2.8	$1.59^{+19.38}_{-1.01} \cdot 10^{-4}$	$0.746^{+0.676}_{-0.168}$
Coma Berenices I	77 ± 10	4.6 ± 2.3	$2.58^{+4.24}_{-1.23} \cdot 10^{-4}$	$0.843^{+0.233}_{-0.126}$
Canes Venatici II	74^{+14}_{-10}	4.6 ± 2.4	$2.80^{+5.02}_{-1.50} \cdot 10^{-4}$	$0.860^{+0.252}_{-0.150}$

Table 1. Parameters for dSphs compiled by Boyarsky et al. (2009)(column 2-3). f_0 is the maximal coarse-grained phase space density bound given by our model (column 4). m_{FD} is the mass limit for thermal relic warm dark matter particles.

WDM mass bound



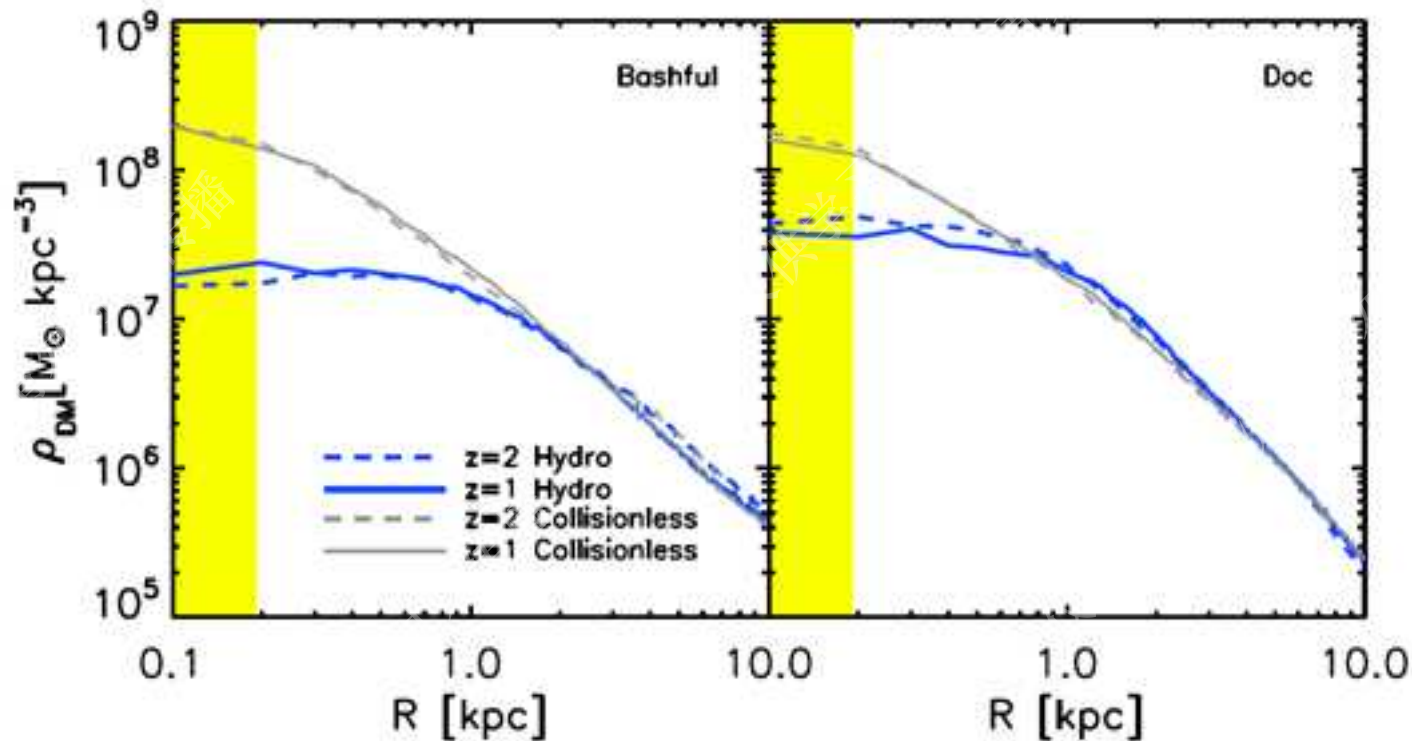
- $\sim 0.5 \text{ keV}$, $M_{\text{cut}} \sim 10^{12} M_{\odot}$, can not make dwarfs!

- WDM can NOT account for Dwarf cores [Shao et al. 2013](#)

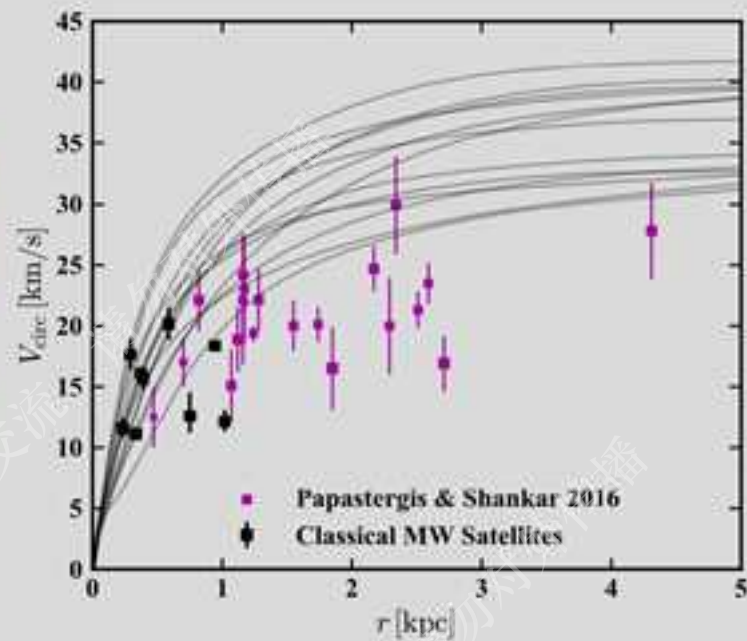
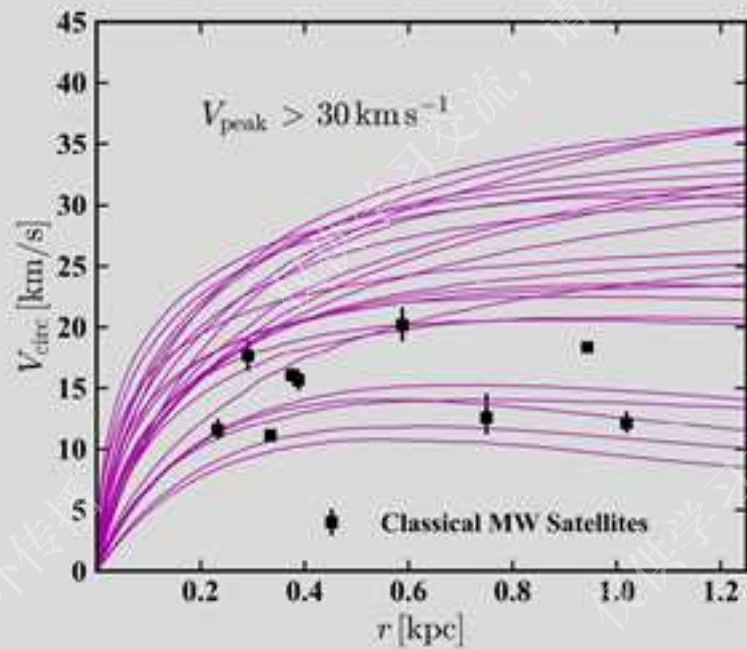


解决方案：超新星爆发反馈加热暗物质粒子，降低中心暗物质密度。

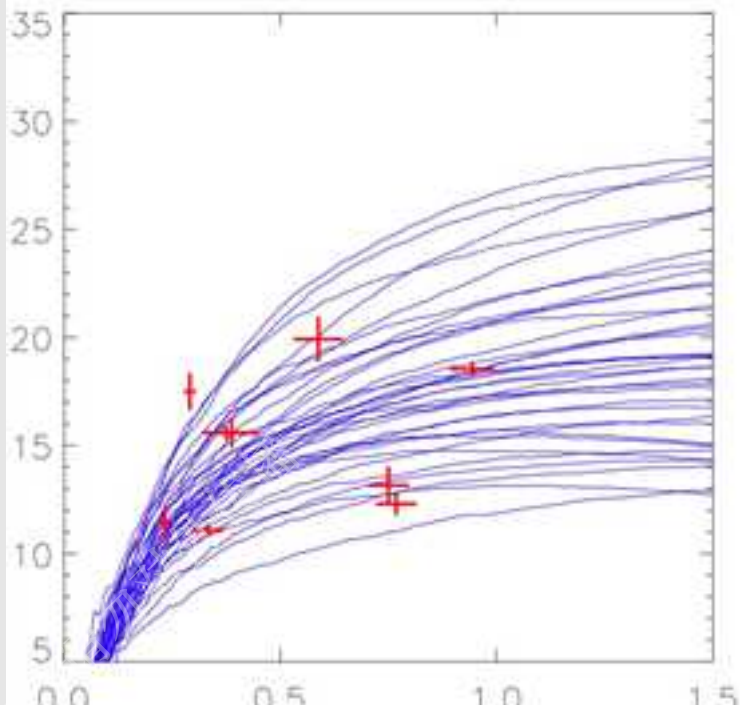
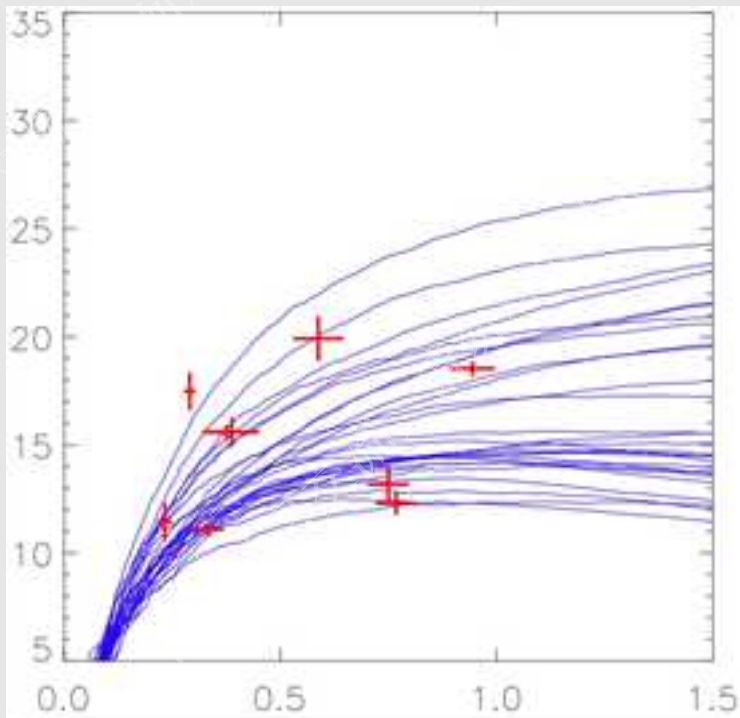
问题：暗的矮星系是否有足够的超新星？



Too big to fail problem



v_c [km/s]

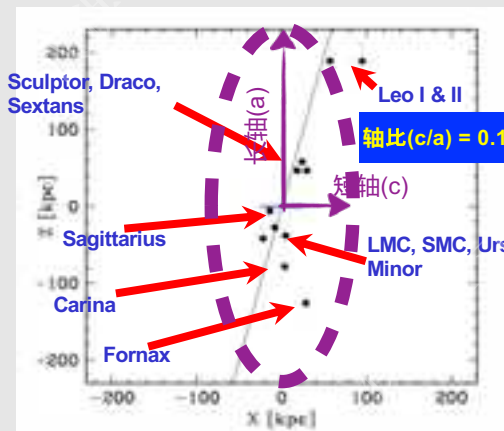


Too big to fail
Seems not a problem
In some Hydrodynamic
simulations

Swala et al. 2016

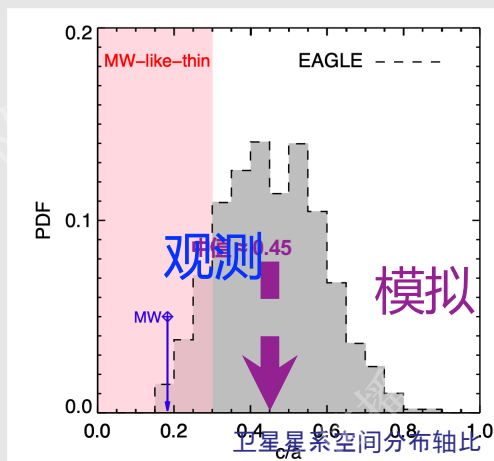
卫星星系盘结构

卫星星系空间分布



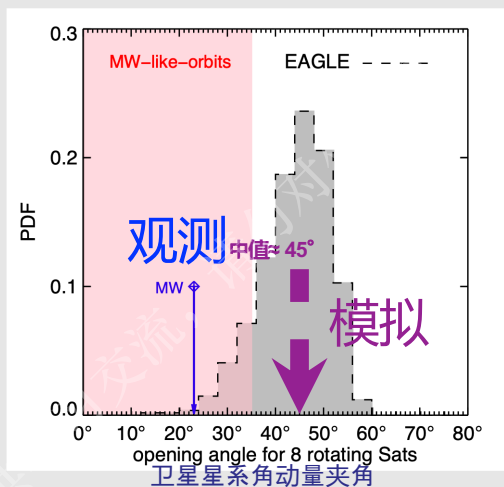
卫星星系轨道角动量

银河系质量最大的11个卫星星系，有8个在朝着一个方向转动，夹角仅有 21.9° ，高度各向异性！！



Shao ++ 2016 , 2019a

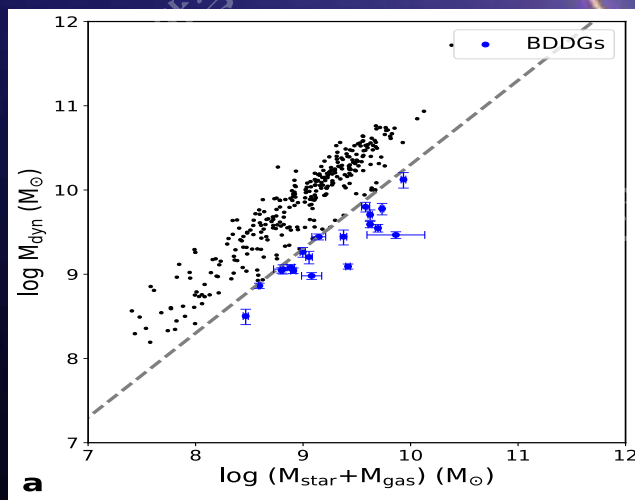
模拟中有 ~ 1% 的样本和银河系类似！



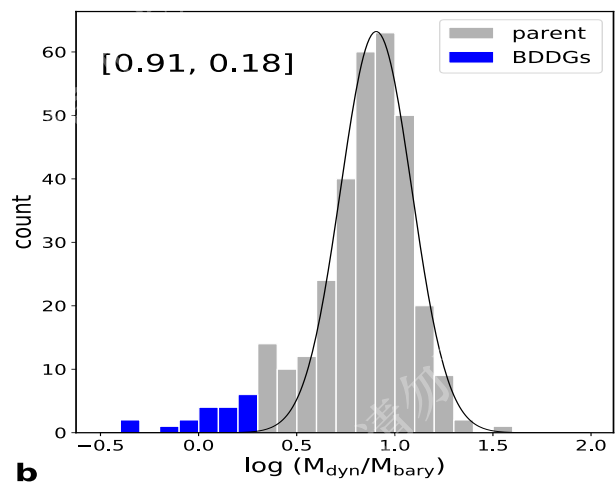
暗物质缺失的矮星系

- 利用ALFALFA的HI光谱和SDSS测光估计星系的恒星质量、气体质量和动力学质量。
- 发现324个矮星系中有19个在远大于光学半径的范围内质量由重子物质主导；而在典型的矮星系中，暗物质质量与重子物质质量比在10—1000。

动力学质量



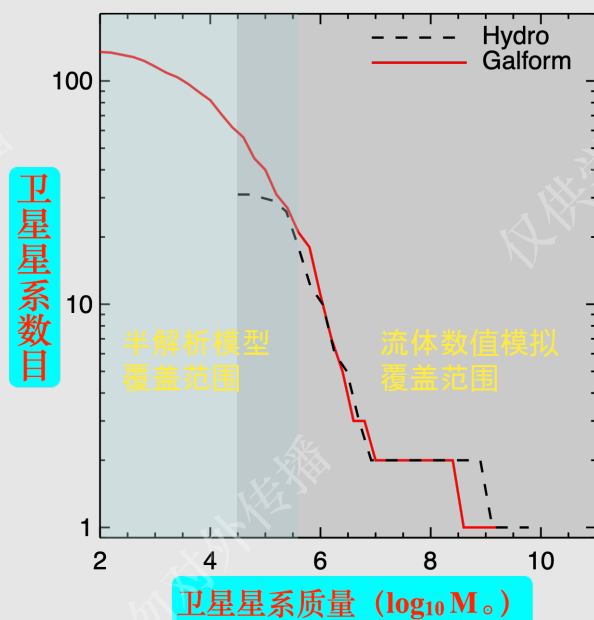
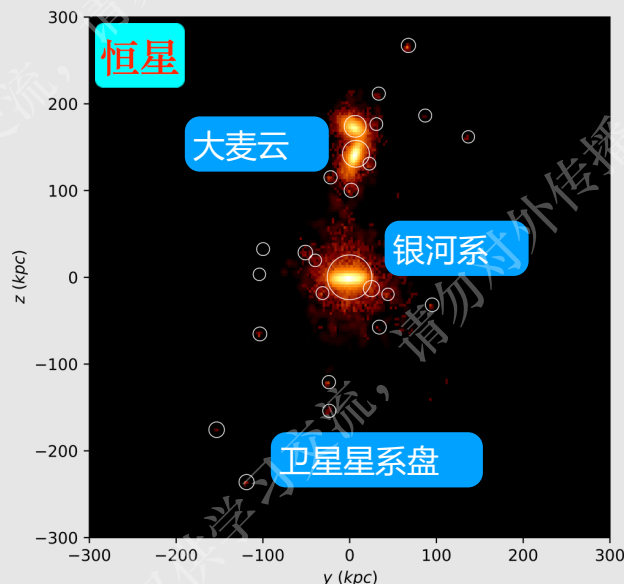
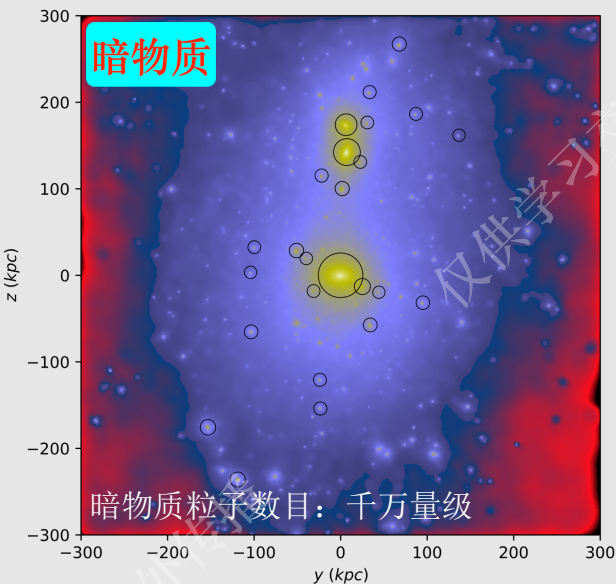
重子物质质量



动力学质量/重子物质质量

19个暗物质缺失的矮星系中有14个是孤立星系，不会受到高密度环境，例如潮汐瓦解、星系间相互作用等影响。

喜鹊模拟——银河系高精度数值模拟



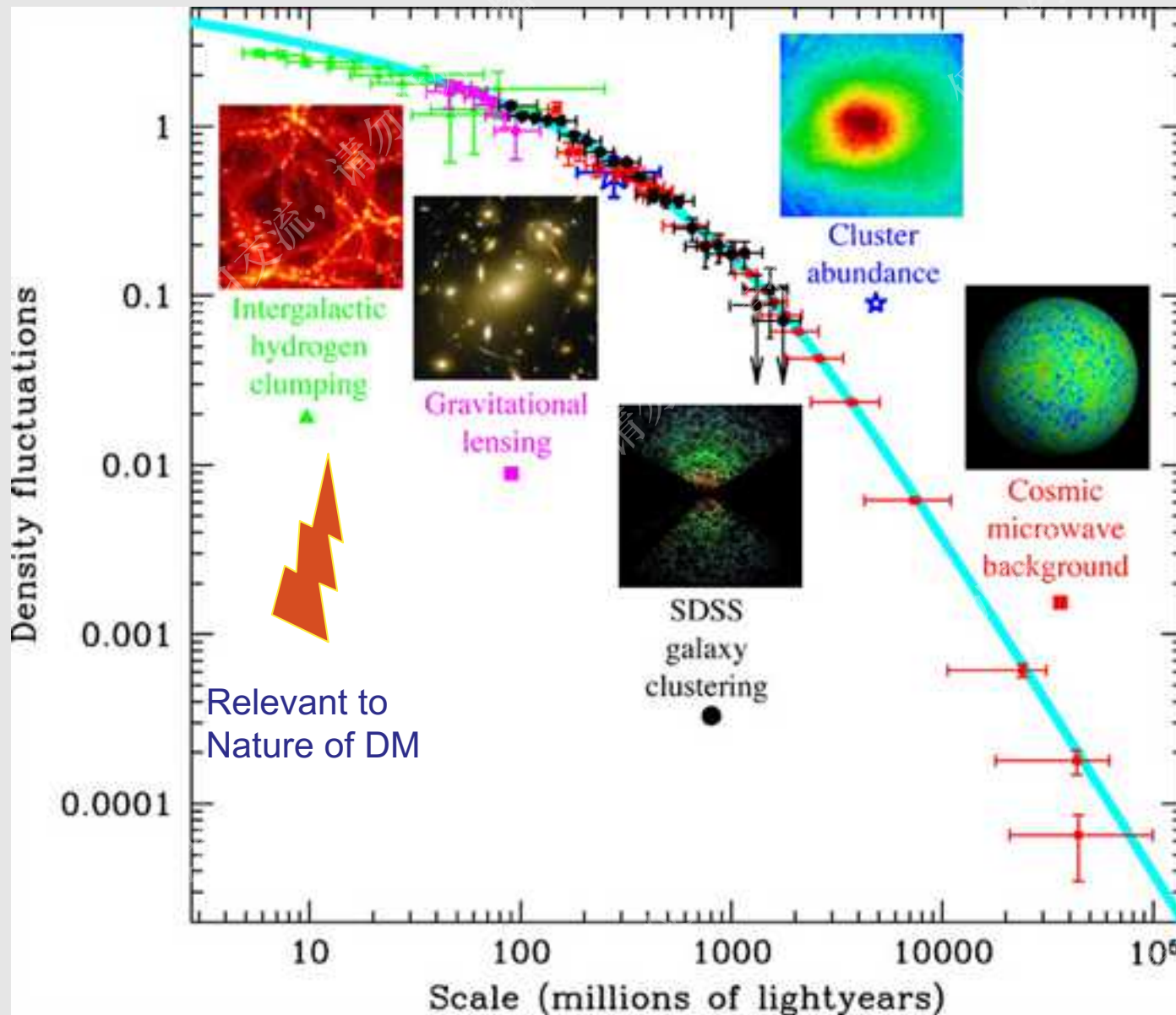
- 构建满足多种银河系观测特征的大样本 (40)
- 采用全新流体-半解析模型结合的技术, 解析最小至 $100M_{\odot}$ 的完备卫星星系样本

暗物质不一定非得是 WIMP

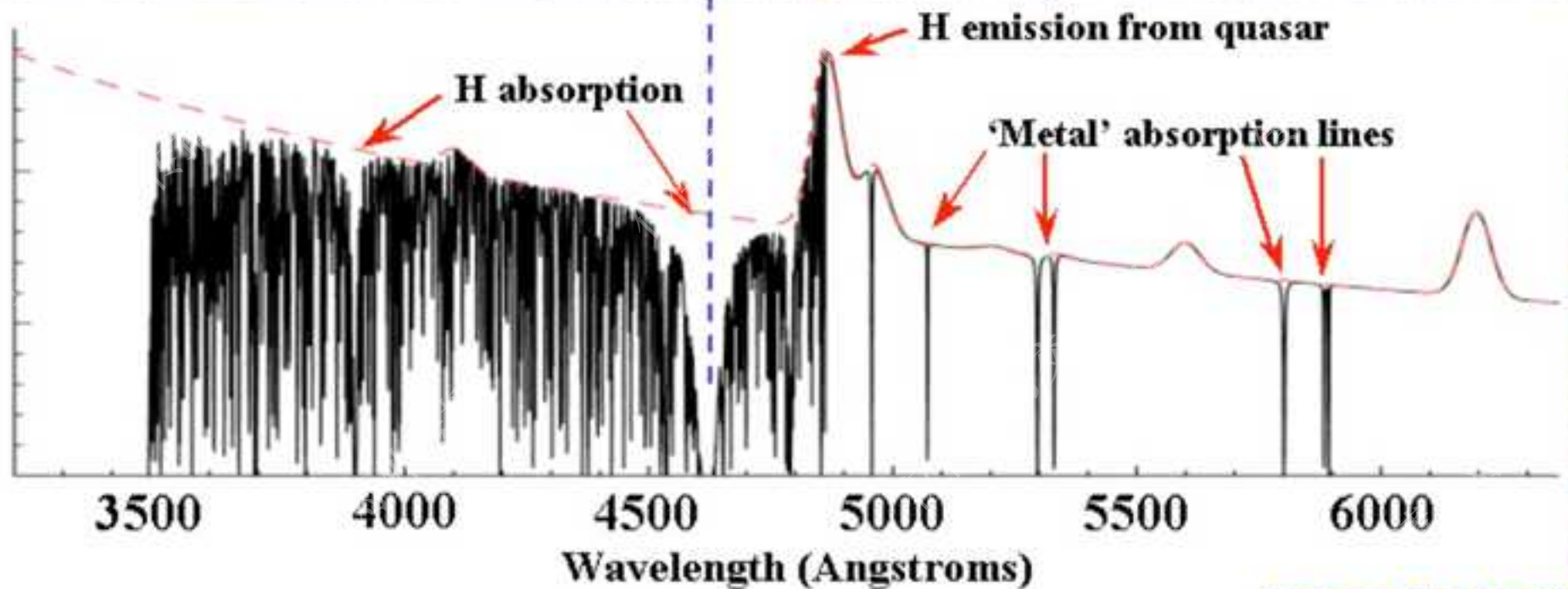
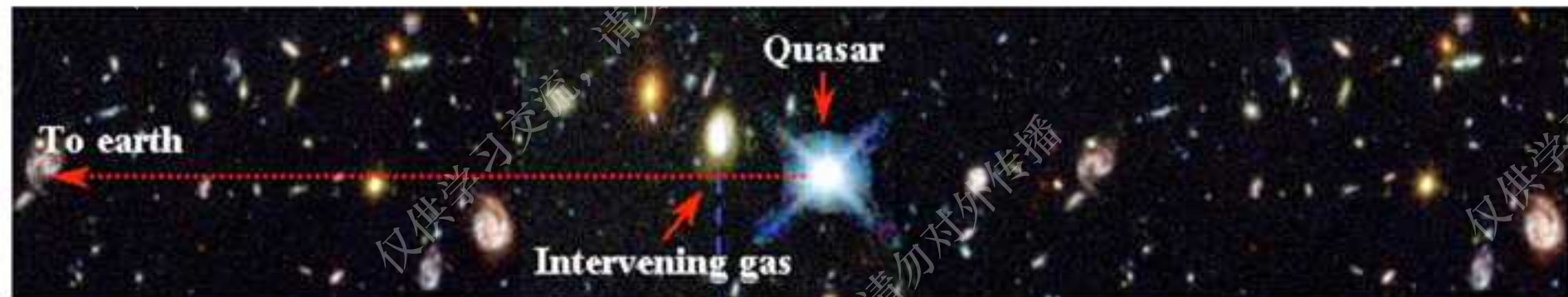
冷暗物质未必是对的

Wimps, Axions (冷暗物质)
Sterile neutrino, gravitino (温暗物质)
Self-interactive dark matter

Matter Power Spectrum constrains from observations



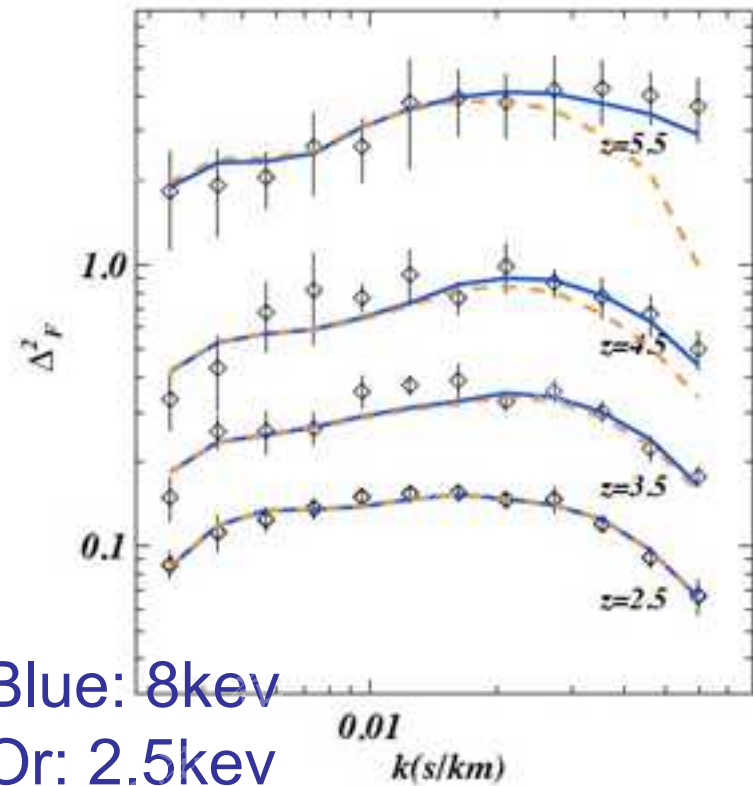
Lya ps constrains on WDM mass



Lya ps constrains on WDM mass

Difference in Flux PS mostly seen on high z , at which both data and simulation are more uncertain.

Simulation boxsize
Different Hydro-dynamical solver



Viel et al. 2008

探测超对称暗物质粒子手段

- 非加速器物理

 - 直接探测方法

 - 测量暗物质粒子与普通粒子之间极其罕见的散射事例

 - 间接探测方法

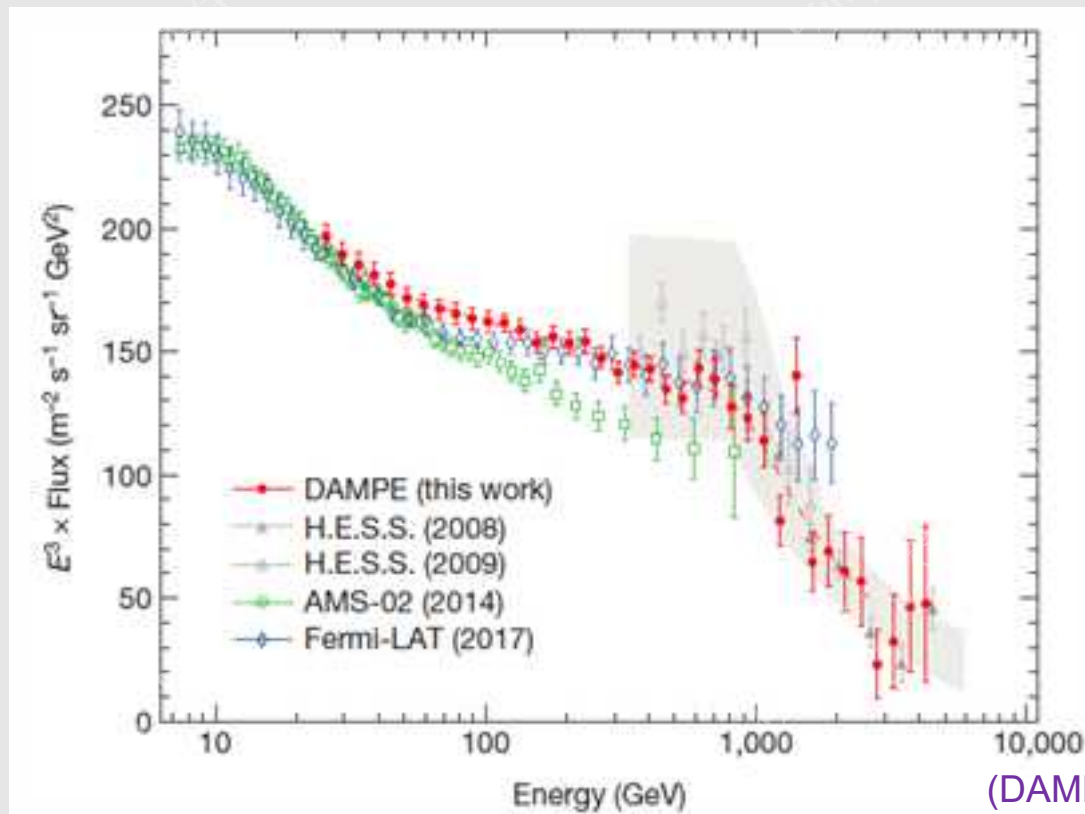
 - 测量暗物质粒子湮灭所产生的次级粒子 γ 光子, $e^+ e^-$, 中微子

目前国际上已有大量暗物质实验在进行,基本上是非加速器实验。相对于加速器实验,非加速器实验造价十分低廉

- 加速器物理: 欧洲核子中心的LHC (大型强子对撞机)

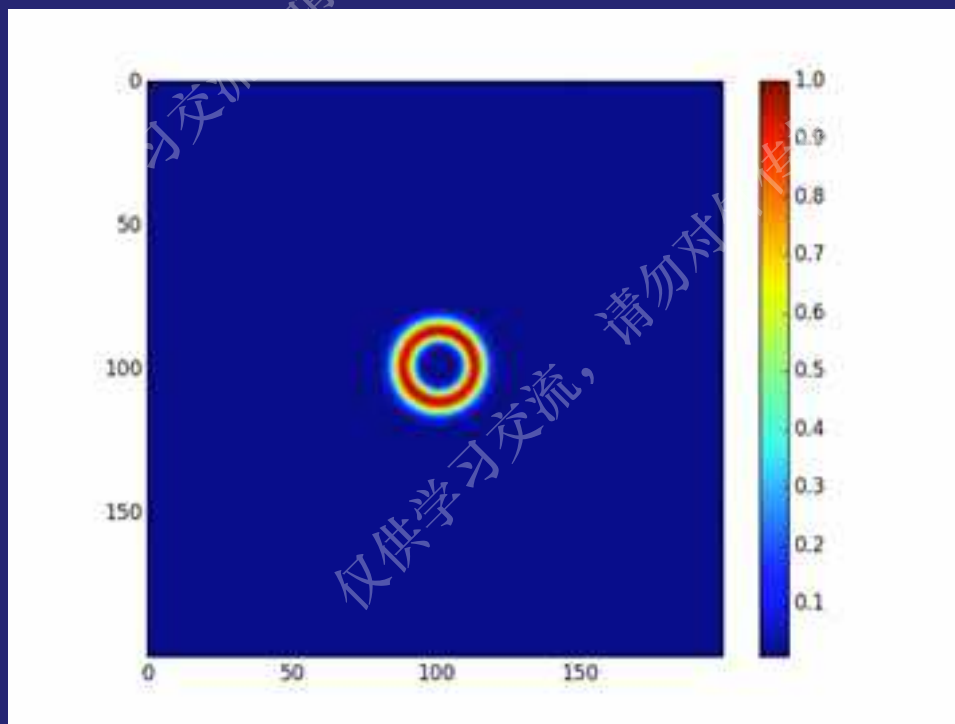
DAMPE results

- Cosmic ray (e^- and e^+) energy power spectrum
- A tentative 1.4 TeV peak



(DAMPE Collaboration, 2017)

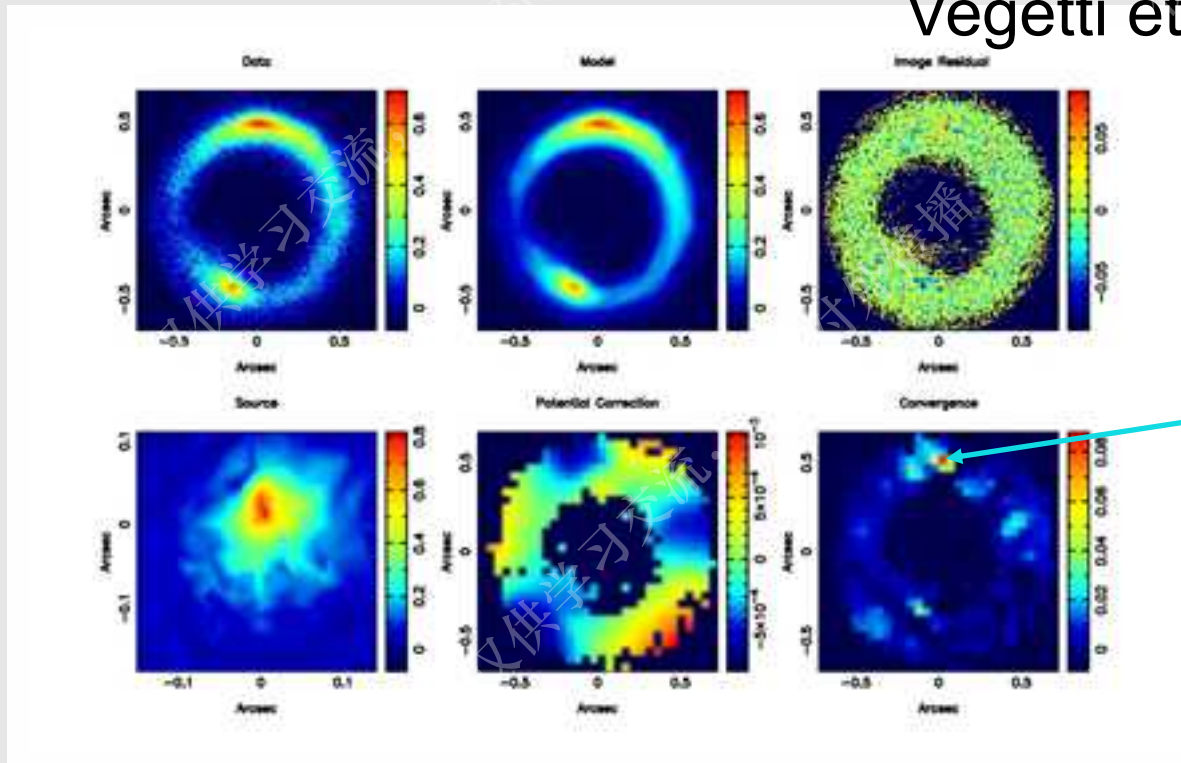
子暗晕可以扰动爱因斯坦环



The perturb on a Einstein ring with subhaloes at different position. The cleanest way to detect very low mass subhalo.

通过测量Einstein Ring扰动测量量子结构比例来限制暗物质性质

Vegetti et al.2012



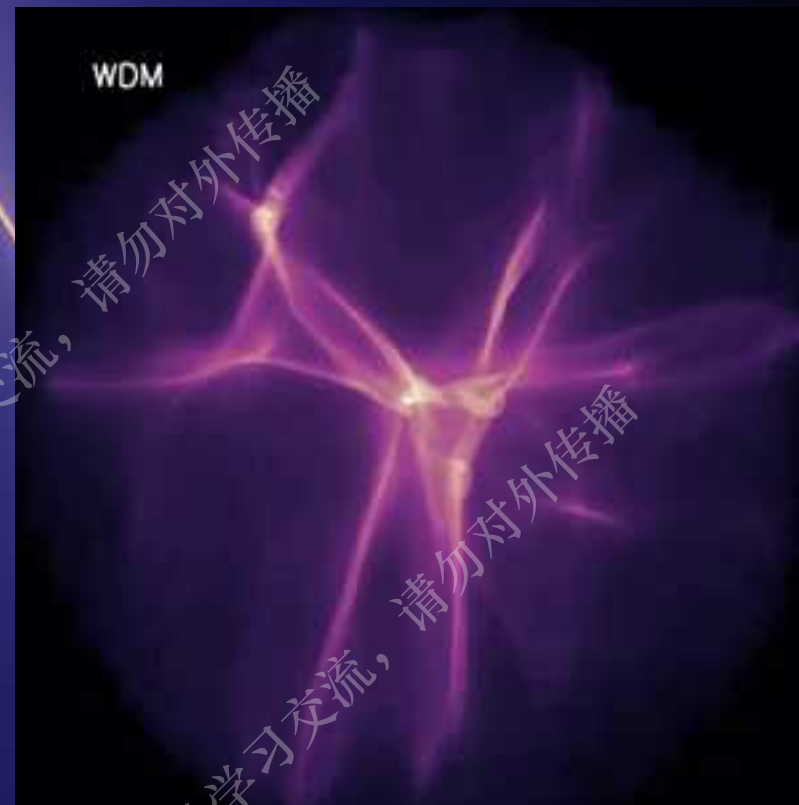
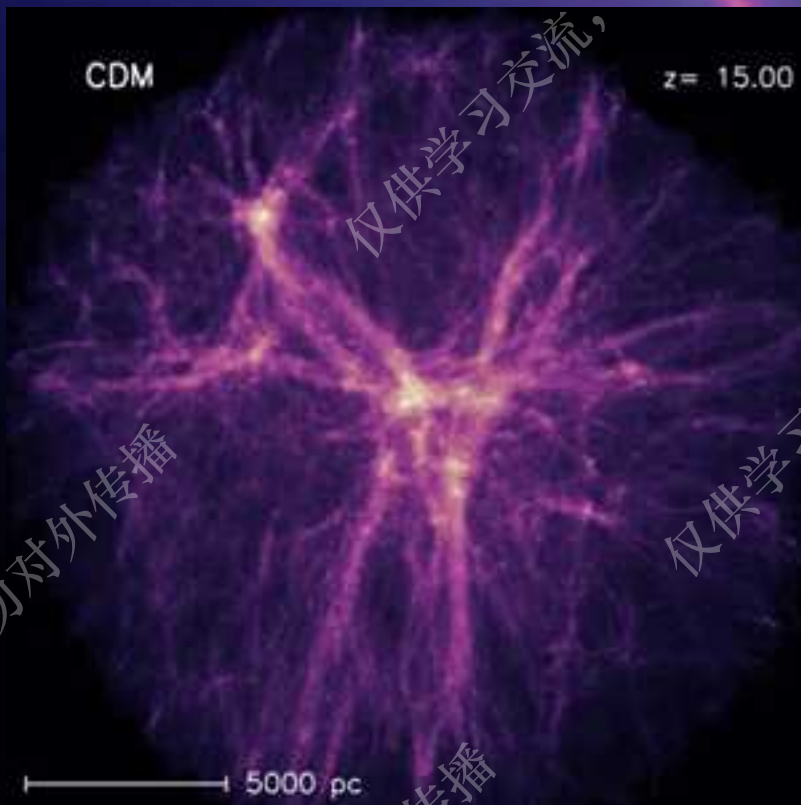
subhalo of $1e8$ Msun

1. model the system with smooth density(host halo mass distribution)
2. model the residual(subhalo)
3. calculate the significance of subhalo detection

Li et al. 2015

Are filaments special places to look at?

Filaments in WDM are more smooth



$M_{dm} = 3 \text{ keV}$, $M_{fs} \sim 3 \times 10^8 \text{ solar masses}$

第一代恒星

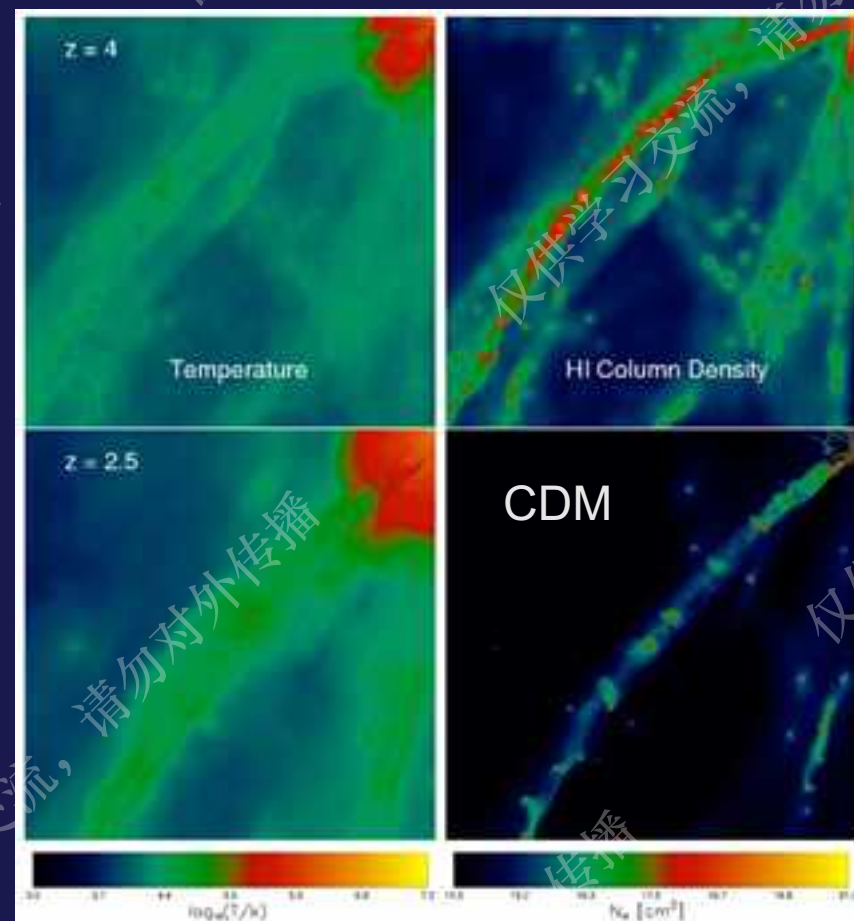
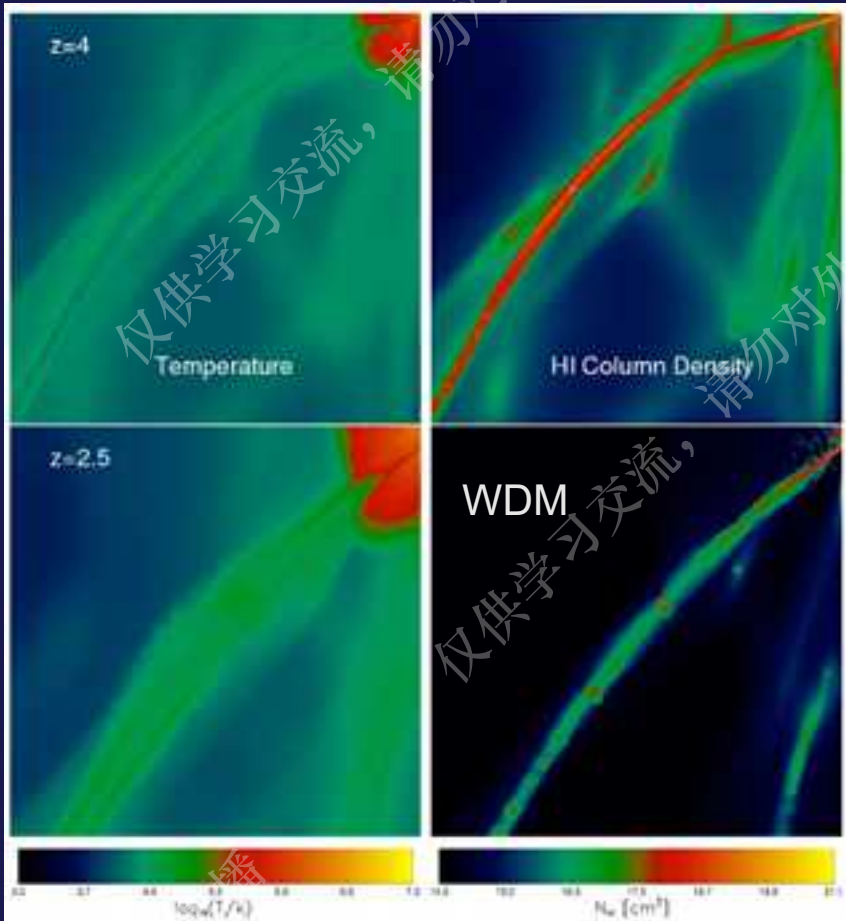
- 经典理论下，恒星只能在暗晕中形成
- 温暗物质纤维结构可以产生恒星



Gao & Theuns, 2007 Science

星爆方式发生，极高亮度





Can we see them ? Ly α emission, HI

总结

- 纯暗物质物理体系下，暗晕结构有明确的结果。但或许和一些观测有冲突
- 当考虑重子物质, well-known小尺度问题似乎都可以解决
- 小尺度观测结果也存在一些争议
- 标准宇宙学小尺度挑战不足以引入修改暗物质模型
- 暗物质属性天文学研究依然十分重要